

Capítulo 6

Aritmética

You cannot ask us to take sides against arithmetic.

Winston Churchill

Computadores foram inventados, e são usados, para efetuar operações aritméticas sobre números em aplicações tão diversas como o processamento da folha de pagamentos de uma empresa, na simulação de trajetórias de planetas e de partículas subatômicas, na simulação de paisagens em jogos, no cálculo do preço a pagar pelo etanol num posto de combustíveis.

Neste capítulo¹ estendemos nossa abstração para bits, permitindo agora que tuplas de bits representem números naturais e números inteiros. Circuitos de aritmética normalmente empregam a representação para inteiros chamada de *complemento de dois* porque esta é simples e eficaz, e resulta em circuitos também simples, portanto eficazes. Esta representação é definida na Seção 6.1.

Neste capítulo estudamos os circuitos usados para computar a soma, a diferença e o produto de dois números representados por sequências de bits. Os circuitos que efetuam estas operações são descritos nas Seções 6.2 e 6.3.

Deslocamentos são operações interessantes: um deslocamento para a esquerda equivale a uma multiplicação por uma potência de dois, enquanto um deslocamento para a direita, tomados os cuidados necessários, equivale a uma divisão por uma potência de dois. Estes circuitos são apresentados na Seção 6.4.

O componente de um processador em que são efetuadas somas e subtrações, mais as operações lógicas sobre vetores de bits, é chamado de Unidade de Lógica e Aritmética, e sua implementação é descrita na Seção 6.5.

O algoritmo que usamos para somar dois números implica na propagação do vai-um, potencialmente através de todos os dígitos dos operandos. Num somador com operandos de 32 ou 64 bits, o tempo necessário para computar o resultado pode ser excessivo. Nas Seções 6.6 e 6.7 veremos dois somadores que minimizam o tempo de propagação do vai-um.

Na Seção 6.8 são apresentados três circuitos combinacionais que efetuam a multiplicação. Na multiplicação, como na soma, a cadeia de propagação do vai-um é problemática e seus efeitos no tempo de propagação devem ser minimizados.

¹© Roberto André Hexsel, 2012-2021. Versão de 25 de fevereiro de 2021.

6.1 Sequências de Bits Que Representam Números

Números devem ser representados internamente ao computador por sequências de bits, uma vez que os bits são as menores unidades de informação que podem ser usadas num computador digital. Vejamos então como números naturais e números inteiros podem ser representados como sequências de bits. Iniciamos a exploração pela adição, que é operação aritmética mais simples, e a mais popular nos programas que escrevemos.

6.1.1 Adição na base 2

A soma s de dois números a e b , representados em um único dígito binário é:

a	+	b	=	s	\mathbb{N}
0	+	0	=	0	0
0	+	1	=	1	1
1	+	0	=	1	1
1	+	1	=	?	2

A coluna da direita mostra o número natural que representa o resultado. Na quarta linha, a soma $1 + 1 = 2$ não é representável por um único dígito, e portanto a tabela verdade da soma deve ser aumentada com uma coluna para o vai-um.

Se incluímos o vai-um no resultado, que incluamos também o vem-um nas parcelas. O resultado da soma é representado pelo número de dois bits $\langle vai, s \rangle$:

vem	+	a	+	b	=	vai	s	\mathbb{N}
0	+	0	+	0	=	0	0	0
0	+	0	+	1	=	0	1	1
0	+	1	+	0	=	0	1	1
0	+	1	+	1	=	1	0	2
1	+	0	+	0	=	0	1	1
1	+	0	+	1	=	1	0	2
1	+	1	+	0	=	1	0	2
1	+	1	+	1	=	1	1	3

(6.1)

Como o resultado da adição de três bits ($1+1+1 = 3$) é representável em dois dígitos ($3 = 11_2$), todas as oito combinações das entradas produzem os resultados esperados.

6.1.2 Sequências de Bits Que Representam Inteiros

Qual seria então uma representação para números, usando bits? Uma primeira restrição, que deriva de custo e da tecnologia disponível, é que os números sejam representados por sequências de bits com tamanho fixo, cujas larguras típicas são de 8, 16, 32 ou 64 bits. Isso é necessário porque os circuitos que efetuam operações aritméticas devem ter tamanho finito, assim como deve ser finita a memória que armazena os números.

Felizmente, a forma mais óbvia é também a mais simples e eficaz: emprega-se a mesma notação posicional que usamos com números na base 10, na qual cada dígito, ou posição, é multiplicada por uma potência de 10. Como a representação é com bits, a base da representação é 2.

Considere uma representação para números naturais (\mathbb{N}) com um campo fixo com 8 bits de largura, como a mostrada abaixo. A posição de cada dígito binário corresponde a uma potência de dois; o dígito à direita tem peso $2^0 = 1$ enquanto o dígito mais significativo tem peso $2^7 = 128$. A faixa de valores representáveis é de 0 a 255. O número 99 é representado em binário, num campo de 8 bits, por $0110.0011_2 = 2^6 + 2^5 + 2^1 + 2^0 = 64 + 32 + 2 + 1$.

$$\begin{array}{rcccccccc} \textit{peso} \rightarrow & 2^7 & 2^6 & 2^5 & 2^4 & 2^3 & 2^2 & 2^1 & 2^0 \\ 99 & 0 & 1 & 1 & 0 & 0 & 0 & 1 & 1 \end{array}$$

Para uma representação com k bits de largura, o valor do número natural N representado por uma sequência de k bits é obtido com a Equação 6.2, e é a soma ponderada dos bits b_i , $i \in [0, k)$.

$$N = \sum_{i=0}^{k-1} 2^i \cdot b_i \tag{6.2}$$

Qual seria uma representação igualmente eficiente para números inteiros (\mathbb{Z})? Dada a conveniência da representação para os naturais, expressa na Equação 6.2, a representação para zero, em 8 bits, deve ser

$$0000.0000.$$

Assim como para zero, a representação óbvia para o número $+1$ é

$$0000.0001.$$

Qual seria então a representação para -1 ? Esta representação deve ser tal que $-1 + 1 = 0$. Se somarmos $+1$ ao número M que representa -1 , obtemos:

$$\begin{array}{rcccccccc} & 0 & 0 & 0 & 0 & 0 & 0 & 0 & 1 \\ + & m_7 & m_6 & m_5 & m_4 & m_3 & m_2 & m_1 & m_0 \\ \hline & 0 & 0 & 0 & 0 & 0 & 0 & 0 & 0 \end{array}$$

Da Equação 6.1 temos que $1 + 1 = 0$ e vai um para a próxima posição. A soma $1 + m_0 = 0$ somente se $m_0 = 1$. A soma de $m_0 = 1$ com 1 é zero e *vai-um*. Para o segundo dígito, a soma *vem-um* $+ 0 + m_1 = 0$ somente se $m_1 = 1$. Da mesma forma para o terceiro dígito, com $m_1 = 1$, obtemos $m_2 = 1$. Continuando até m_7 , descobrimos que a representação em 8 bits para -1 é 1111.1111 .

Qual seria a representação para os demais números negativos, de tal forma que $A + (-A) = 0$?

$$\begin{aligned} (+A) + (-A) &= 0 \\ -A &= 0 - A \\ &= (1 - 1) - A \\ &= 1 + (-1 - A) \end{aligned}$$

Considerando somente o termo $(-1 - A)$, qual o valor de $R = (-1 - A)$?

$$\begin{array}{rcccccccc} & 1 & 1 & 1 & 1 & 1 & 1 & 1 & & -1 \\ - & a_7 & a_6 & a_5 & a_4 & a_3 & a_2 & a_1 & a_0 & -A \\ \hline & r_7 & r_6 & r_5 & r_4 & r_3 & r_2 & r_1 & r_0 & R \end{array}$$

Computando a subtração bit a bit, iniciando por a_0 , temos dois casos:

(i) se $a_0 = 0$, então $r_0 = 1 - 0 = 1 = \overline{a_0}$;

e

(ii) se $a_0 = 1$, então $r_0 = 1 - 1 = 0 = \overline{a_0}$.

Se aplicarmos o mesmo raciocínio aos demais bits, descobre-se que $R = (-1 - A)$ é o complemento bit a bit de A , e é representado por $R = \overline{A}$. Assim,

$$-A = 1 + \overline{A} \tag{6.3}$$

que é a maneira simples, embora tediosa, de obter a representação de números negativos: basta complementar bit a bit o número positivo e somar 1 ao valor complementado.

Esta representação é chamada de *complemento de dois*, e nela o dígito mais significativo é sempre multiplicado por -2^m para um m apropriado. Em números representados em k bits, o bit b_{k-1} é multiplicado por -2^{k-1} . Se $k = 4$, então o número $+3$ é representado por

$$+3 = 0011_2 = (0 \cdot -2^3) + 0 \cdot 2^2 + 1 \cdot 2^1 + 1 \cdot 2^0,$$

sendo -3 representado por

$$-3 = 1101_2 = (1 \cdot -2^3) + 1 \cdot 2^2 + 0 \cdot 2^1 + 1 \cdot 2^0.$$

O conjunto de números inteiros representados em k bits é $[-2^{k-1}, 2^{k-1} - 1]$. Por causa da representação para zero, as 2^k representações distintas são divididos em 2^{k-1} números negativos e $2^{k-1} - 1$ números positivos.

A Equação 6.4 mostra os pesos dos dígitos de um número representado em 8 bits. O dígito mais significativo é multiplicado por -2^7 , e os demais dígitos são multiplicados por potências decrescentes positivas de 2.

$$X = (x_7 \cdot -2^7) + x_6 \cdot 2^6 + x_5 \cdot 2^5 + \dots + x_2 \cdot 2^2 + x_1 \cdot 2^1 + x_0 \cdot 2^0 \tag{6.4}$$

Se o dígito mais significativo é zero, então o número representado é positivo, do contrário é negativo. Logo, esse dígito é chamado de *bit de sinal*.

Exemplo 6.1 Alguns exemplos de números representados em complemento de dois, em 8 bits são mostrados na Tabela 6.1. A posição mais significativa é multiplicada por 1 nos números negativos e portanto esta parcela vale -128 do valor representado. Para representar um número maior do que -128 , outras parcelas positivas devem ser adicionadas para descontar a diferença do valor desejado para -128 . Como mostra a segunda linha da tabela, $-1 = -128 + 127$. \triangleleft

Tabela 6.1: Exemplos de representação em complemento de dois.

		<i>posição</i>	b_7	b_6	b_5	b_4	b_3	b_2	b_1	b_0
<i>valor</i>		<i>peso</i>	-128	64	32	16	8	4	2	1
+1	=	+0 + 1	0	0	0	0	0	0	0	1
-1	=	-128 + 127	1	1	1	1	1	1	1	1
-125	=	-128 + 3	1	0	0	0	0	0	1	1
-4	=	-128 + 124	1	1	1	1	1	1	0	0

Considerando que num circuito digital as operações são efetuadas em circuitos com largura fixa e finita, o que ocorre quando somamos dois números grandes? Se somarmos o maior número representável a si próprio, ele dobra de tamanho:

$$N + N = 2N, \quad \log_2(N) = k, \quad \log_2(2N) = k + 1.$$

A soma de dois números de k bits tem $k + 1$ bits por causa da possibilidade de ocorrer vai-um no dígito mais significativo. Isso significa que o resultado de uma soma pode ser maior do que o maior número que pode ser representado em k bits. Esta situação indica a ocorrência de *overflow* porque um bit do resultado ‘transborda’ para além do limite máximo da representação.

Felizmente, o algoritmo para a detecção de *overflow* é simples. Para números representados em k bits e operação $A + B = R$:

1. replique o dígito mais significativo das duas parcelas, representando os operandos em $k + 1$ bits ($a_k = a_{k-1}$ e $b_k = b_{k-1}$);
2. adicione os dois operandos de $k + 1$ bits e ignore o vai-um para a posição r_{k+1} ;
3. ocorre *overflow* se, e somente se, os dois bits mais significativos do resultado diferem ($r_{k-1} \neq r_k$); do contrário, a resposta é o número representado corretamente em k bits.

Exemplo 6.2 Pode o resultado de $7 + 6$ ser representado corretamente em 4 bits?

Na operação abaixo, o dígito replicado está sublinhado, e o vai-um é mostrado à esquerda do dígito que o recebe.

$$\begin{array}{rcccccc}
 & \underline{0} & {}^{1+0} & {}^{1+1} & 1 & 1 & 7 \\
 + & \underline{0} & 0 & 1 & 1 & 0 & +6 \\
 \hline
 & \underline{0} & 1 & 1 & 0 & 1 & +13 \\
 & \underline{r_4} & r_3 & r_2 & r_1 & r_0 &
 \end{array}$$

Os bits r_3 e r_4 diferem e portanto $7 + 6$ não pode ser representado em 4 bits porque o maior número representado corretamente com $k = 4$ é $2^{4-1} - 1 = 7$. \triangleleft

A Figura 6.1 mostra o círculo da representação em complemento de dois para campos de três bits. Os números binários 000_2 , 001_2 , 010_2 , e 011_2 representam os inteiros 0, 1, 2 e 3, respectivamente, enquanto os binários 111_2 , 110_2 , 101_2 , e 100_2 representam os inteiros -1, -2, -3, e -4, respectivamente.

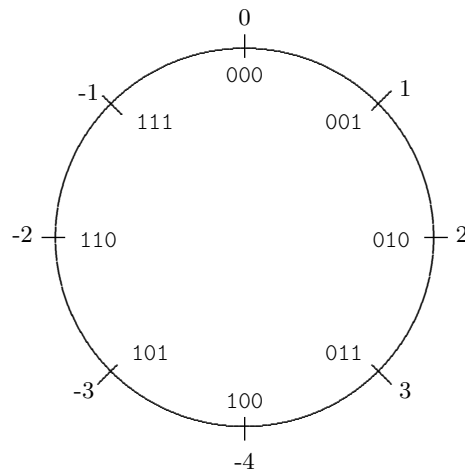


Figura 6.1: Círculo da representação em complemento de dois.

Duas somas são mostradas na Figura 6.2. A primeira, no arco externo, é a soma de +2 com +3, que resulta em +5 e portanto não é representável em complemento de dois com três bits, porque o binário 101_2 representa o inteiro -3. Na segunda soma, no arco interno, +2 + -3 produz o resultado correto que é -1. Daqui se extrai uma regra: *a soma de dois inteiros positivos pode produzir resultado incorreto, enquanto a soma de dois inteiros de sinais trocados produz resultados corretos*. A regra equivalente para a subtração é: *a diferença de números com sinais diferentes pode produzir resultados incorretos, enquanto a diferença de números com sinais iguais produz resultados corretos*.

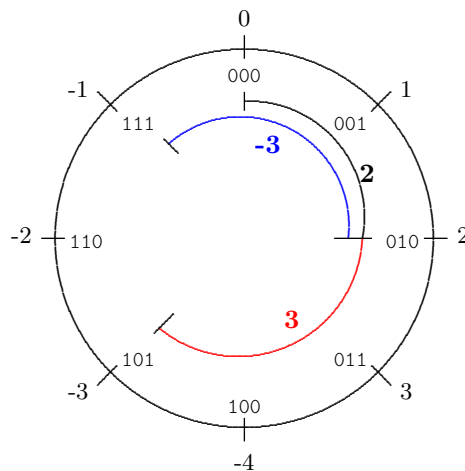


Figura 6.2: Representação em complemento de dois e *overflow*.

Exercícios

Ex. 6.1 Efetue as operações abaixo. Os números estão representados em complemento de dois, em 4 bits. Os resultados são representados corretamente?

- (a) 0100+0011 (b) 0110+1010 (c) 1001+0110
 (d) 1010+1110 (e) 1101+0111 (f) 1111+0111

Ex. 6.2 Efetue as operações abaixo. Os números estão representados em complemento de dois, em 5 bits. Os resultados são representados corretamente?

- (a) 11011-01101 (b) 11010-01110 (c) 10110+01010 (d) 10100-10110

6.1.3 Sequências de Bits Que Representam Frações

As cinco primeiras potências negativas de 2 são

$$\begin{aligned} 2^{-1} &= 0,5 &&= 1/2 \\ 2^{-2} &= 0,25 &&= 1/4 \\ 2^{-3} &= 0,125 &&= 1/8 \\ 2^{-4} &= 0,0625 &&= 1/16 \\ 2^{-5} &= 0,03125 &&= 1/32. \end{aligned}$$

Para representar quantidades que não são inteiras, empregamos uma *representação posicional* que estende aquela usada para inteiros, e é exemplificada abaixo. Essa representação é chamada de *ponto fixo*, em contraste com a representação em *ponto flutuante*, que não é discutida neste texto. As potências que multiplicam os dígitos da parte fracionária são negativas. Na base 10 temos

$$34,567 = 3 \cdot 10^1 + 4 \cdot 10^0 + 5 \cdot 10^{-1} + 6 \cdot 10^{-2} + 7 \cdot 10^{-3}$$

enquanto o número 3,3125 é representado na base dois por 11,01010₂

$$3,3125_{10} = 1 \times 2^1 + 1 \times 2^0 + 1 \times 2^{-2} + 1 \times 2^{-4} = 2 + 1 + 0,25 + 0,0625.$$

Exemplo 6.5 Considerando uma representação em oito bits, com três bits para a parte inteira, e cinco bits para a fração, vejamos como representar números em *ponto fixo*. A Tabela 6.2 mostra a representação de cinco números fracionários, em complemento de dois.

Tabela 6.2: Exemplos de representação de frações em 3+5 bits.

valor	posição	b ₇	b ₆	b ₅	.	b ₄	b ₃	b ₂	b ₁	b ₀
	peso	-4	2	1		2 ⁻¹	2 ⁻²	2 ⁻³	2 ⁻⁴	2 ⁻⁵
+0,03125 = +0 + 0,03125		0	0	0	.	0	0	0	0	1
+0,0625 = +0 + 0,0625		0	0	0	.	0	0	0	1	0
-3 = -4 + 1		1	0	1	.	0	0	0	0	0
-1,78125 = -4 + 2 + 2 ⁻³ + 2 ⁻⁴ + 2 ⁻⁵		1	1	0	.	0	0	1	1	1
-0,03125 = -4 + 2 + 1 + 2 ⁻¹ + ... + 2 ⁻⁵		1	1	1	.	1	1	1	1	1

A posição mais significativa é multiplicada por 1 nos números negativos e portanto esta parcela contribui com -4 ao valor representado. Para representar um número maior do que -4, parcelas positivas devem ser adicionadas para ‘descontar’ a diferença do valor desejado para -4. <

A precisão da representação depende do número de bits à direita do ponto. Para f bits de fração, a separação entre dois valores contíguos na representação é de 2^{-f} . Quanto maior o número de bits na fração, melhor a precisão dos valores representados.

6.2 Soma

O circuito que efetua a soma de dois bits mais o vem-um é chamado de *somador completo de um bit*, e tem entradas a , b e vem-um (vem), e saídas s e vai-um (vai). O relacionamento entre estes sinais é definido na Tabela 6.3. A coluna intitulada \mathbb{N} mostra o valor da soma na base 10. As equações para computar s e vai são facilmente derivadas da Tabela 6.3, e são mostradas na Equação 6.5. Estas equações definem o circuito do bloco *soma* na Figura 6.13.

$$\begin{aligned} s &= a \oplus b \oplus vem \\ vai &= (a \wedge b) \vee (a \wedge vem) \vee (b \wedge vem) \end{aligned} \tag{6.5}$$

Tabela 6.3: Tabela verdade do somador completo de um bit.

a	b	vem	vai	s	\mathbb{N}
0	0	0	0	0	0
0	1	0	0	1	1
1	0	0	0	1	1
1	1	0	1	0	2
0	0	1	0	1	1
0	1	1	1	0	2
1	0	1	1	0	2
1	1	1	1	1	3

O circuito que efetua a soma de números representados em mais de um bit replica o algoritmo usado nas operações que efetuamos manualmente, que é indicado na Figura 6.3. Iniciando da direita, na posição menos significativa, um dígito de cada parcela é adicionado, e o vai-um desta adição é incluído na soma do próximo par de dígitos. Isso se repete até o dígito mais significativo dos operandos.

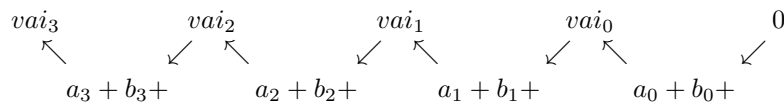


Figura 6.3: Adição de dois números representados em 4 bits.

Para somar dois números de quatro bits basta encadear quatro somadores como aqueles definidos na Equação 6.5. O circuito do somador de quatro bits de largura é mostrado na Figura 6.4. O sinal vai_i de um somador é ligado à entrada vem_{i+1} do somador do próximo bit mais significativo. O sinal vem_0 é ligado a 0 nas somas.

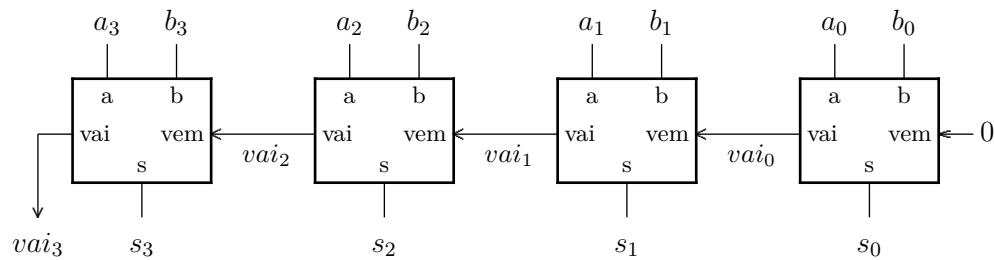


Figura 6.4: Circuito somador de quatro bits.

Exemplo 6.6 Vejamos como é o comportamento temporal do somador de 4 bits. A Figura 6.5 mostra o diagrama de tempos da adição $0101 + 0011$, com $vem_0 = 0$. Para simplificar o diagrama, a soma estabiliza após uma unidade de tempo, e o vai-um após duas unidades.

Os sinais de entrada (A e B) estabilizam no instante t_0 . Depois de uma unidade de tempo o valor em s_0 estabiliza e vai_0 estabiliza uma unidade mais tarde. Em cada um dos somadores, a saída s_i estabiliza depois que o respectivo vai_{i-1} também estabilize. As partes hachuradas indicam os intervalos em que os sinais estão indeterminados, e portanto inválidos. Para **esta combinação de entradas**, o resultado pode ser usado após $t_0 + 8$. O tempo de propagação pode ser diferente para outras entradas. <

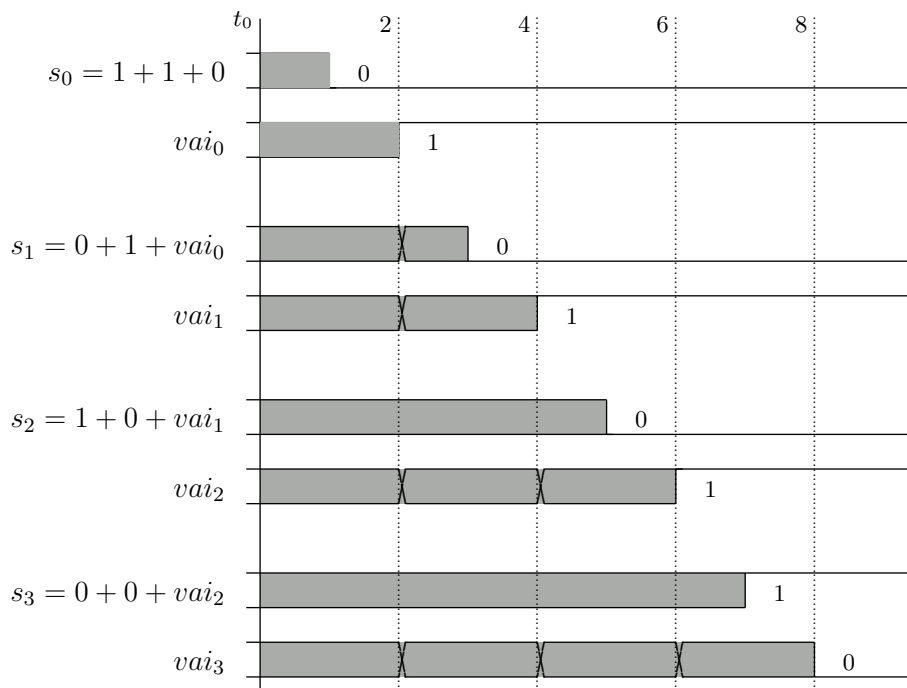


Figura 6.5: Temporização do somador de quatro bits para $0101+0011+0=0.1000$.

6.3 Subtração

O complemento de dois de um número, e portanto o negativo daquele número, é obtido complementando-se todos os bits do número e somando-se 1 ao complemento: $-B = \overline{B} + 1$. O circuito para efetuar a subtração é o mesmo circuito usado para efetuar a soma, como o da Figura 6.4, desde que a entrada B seja complementada, e seja adicionado 1 à \overline{B} :

$$A - B = A + (\overline{B} + 1).$$

O circuito para complementar B é controlado pelo sinal inv : $\overline{B} \triangleleft inv \triangleright B$. A adição do 1 é obtida ligando-se 1 à entrada de vem-um do bit menos significativo, vem_0 .

O circuito que efetua somas e subtrações é mostrado na Figura 6.6. Repare que o sinal inv é também ligado à entrada vem_0 : se a operação é uma soma, então $inv = vem_0 = 0$ e o circuito computa $A + B + 0$; se é uma subtração, então $inv = vem_0 = 1$ e o circuito computa $A + \overline{B} + 1$. No circuito da ULA, na Figura 6.13, o sinal inv deve ser ativado quando $F = 1$.

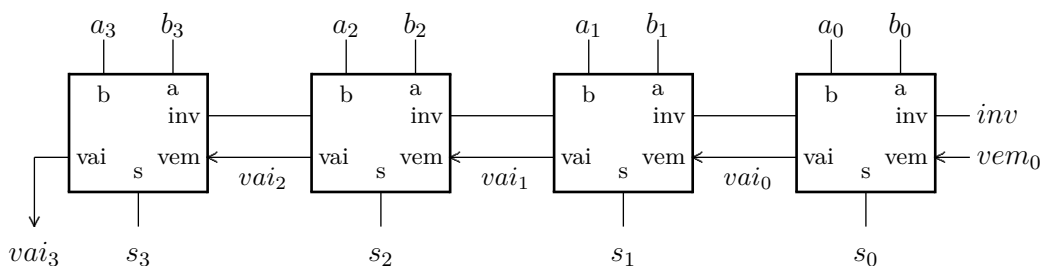


Figura 6.6: Circuito que efetua somas e subtrações.

O circuito que subtrai tem uma ligeira idiosincrasia: se efetuarmos $A - A$, o resultado é 0 com $vai_3 = 1$. Isso decorre da implementação do circuito da soma, conforme a Equação 6.5. Ao efetuar $A - A$ obtemos

$$\begin{aligned}
 s_i &= (a_i \oplus \overline{a_i}) \oplus vem_i && \text{definição } \oplus \\
 &= 1 \oplus vem_i && \text{definição } \oplus \\
 &= \overline{vem_i} \\
 vai_i &= (a_i \wedge \overline{a_i}) \vee (a_i \wedge vem_i) \vee (\overline{a_i} \wedge vem_i) && \text{complemento } \wedge \\
 &= 0 \vee (a_i \wedge vem_i) \vee (\overline{a_i} \wedge vem_i) && \text{identidade } \vee \\
 &= (a_i \wedge vem_i) \vee (\overline{a_i} \wedge vem_i) && \text{distributiva} \\
 &= (a_i \vee \overline{a_i}) \wedge vem_i && \text{complemento } \vee \\
 &= 1 \wedge vem_i && \text{identidade } \wedge \\
 &= vem_i
 \end{aligned} \tag{6.6}$$

A Equação 6.6 mostra que a cadeia dos vai-um repassa, sem alteração, o bit $vem_0 = 1$ para vai_3 , enquanto todos os bits da diferença são gerados corretamente: $s_i = \overline{vem_i} = \overline{vem_0} = 0$. Para que o circuito produza o resultado esperado, que é $A - A = 0$ e $vai_3 = 0$, o bit vai_3 deve ser complementado na subtração. Essa complementação não pode ser ignorada na detecção de *overflow* nas subtrações.

6.4 Deslocamentos

Quando uma tupla de bits é interpretada como um número, segundo a notação posicional, um deslocamento pode ser utilizado para efetuar uma multiplicação ou divisão por uma potência de dois. Considere um número binário representado em quatro bits. Se este número é deslocado de uma casa para a direita, o resultado é o quociente da divisão inteira por dois. Se o número é deslocado para a esquerda, e a posição menos significativa preenchida com 0, o resultado é o número original multiplicado por dois, como mostrado abaixo. Os operadores \gg e \ll são aqueles da linguagem C: o operando à esquerda é deslocado do número de posições indicado pelo operando à direita.

$$\begin{array}{rcl} & 0110 & \text{seis} \\ 0110 \gg 1 & = & 0011 \quad \text{três} \\ 0110 \ll 1 & = & 1100 \quad \text{doze} \end{array}$$

Um deslocamento de n posições à esquerda corresponde a uma multiplicação por 2^n ao passo que um deslocamento à direita corresponde a uma divisão por 2^n :

$$P \ll n = P \times 2^n, \quad Q \gg n = \frac{Q}{2^n}. \quad (6.7)$$

Para representação em complemento de dois, o deslocamento para a direita de números negativos deve garantir que o número permaneça negativo. Para tanto, o bit mais à esquerda, que é o bit de sinal, deve ser replicado. Se o deslocamento é para a esquerda, um número positivo pode tornar-se negativo. Por conta da diferença no tratamento de números com e sem sinal empregam-se os termos *deslocamento lógico* e *deslocamento aritmético*. No primeiro, o bit de sinal é ignorado e os bits inseridos são sempre zero, enquanto no deslocamento aritmético o bit de sinal é replicado nos deslocamentos à direita.

Exemplo 6.7 Vejamos dois exemplos, com números de complemento de dois representados em 4 bits. Um deslocamento para a direita deve preservar o bit de sinal, e produzir resultado negativo com operando negativo: $-2/2 = -1$.

$$1110 \gg 1 = 1111 \quad -2 \gg 1 = -1 \quad \text{certo}$$

Um deslocamento para a esquerda pode alterar o sinal de um operando positivo, resultando em erro: $6 \times 2 = 12 \neq -4$.

$$0110 \ll 1 = 1100 \quad +6 \ll 1 = -4 \quad \text{errado}$$

O deslocamento inverte o sinal e produz resultado errado: $6 \times 2 \neq -4$. ◁

A Figura 6.7 mostra um circuito, cuja saída tem cinco bits de largura, que efetua o deslocamento de uma posição para a esquerda. O comportamento deste deslocador é generalizado na Equação 6.8. Se $d = 0$ então $S = B$, enquanto se $d = 1$ então $S = B \times 2$.

$$\begin{aligned}
 n &: \mathbb{N} \\
 B &: \mathbb{B}^n \\
 S &: \mathbb{B}^{n+1} \\
 d &: \mathbb{B} \\
 \text{desl} &: (\mathbb{B} \times \mathbb{B}^n) \mapsto \mathbb{B}^{n+1} \\
 \text{desl}(n, d, B, S) &\equiv \begin{cases} s_0 = (0 \triangleleft d \triangleright b_0) \\ s_i = (b_{i-1} \triangleleft d \triangleright b_i) & 1 \leq i < n \\ s_n = (b_{n-1} \triangleleft d \triangleright 0) \end{cases}
 \end{aligned} \tag{6.8}$$

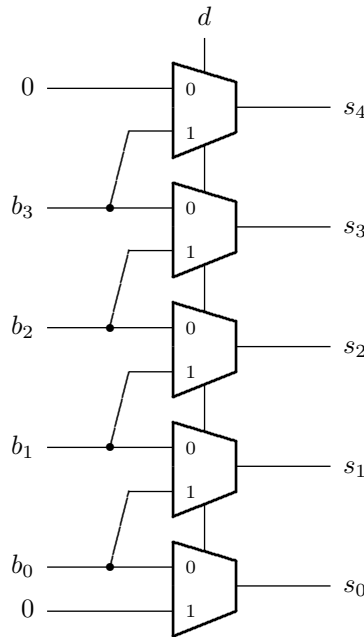


Figura 6.7: Deslocador de uma posição, com quatro bits de entrada.

6.4.1 Deslocador Exponencial

Deslocamentos de uma posição são úteis, mas deslocamentos de um número arbitrário de posições são um tanto mais úteis. Vejamos como a combinação apropriada de deslocadores simples nos permite deslocar um vetor de bits de até $N - 1$ posições, quando $N = 2^n$.

Iniciemos com um deslocador com 4 bits de largura, similar ao circuito da Figura 6.7. O circuito da Figura 6.8 desloca sua entrada B de uma posição se $d_2 = 1$, ou sua saída é igual à entrada: $C = (2^1 \times B) \triangleleft d_2 \triangleright (2^0 \times B)$.

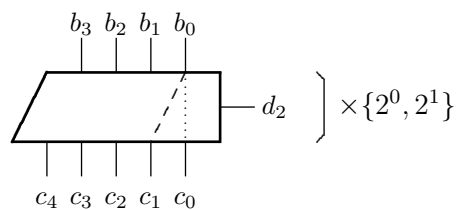


Figura 6.8: Deslocador de 4 bits, uma posição.

A composição de um deslocador de uma posição, com um deslocador de duas posições nos permite deslocar nenhuma, uma, duas, ou três posições, como mostrado na Figura 6.9, e se $D = num(d_4d_2)$, então $C = 2^D \times B$.

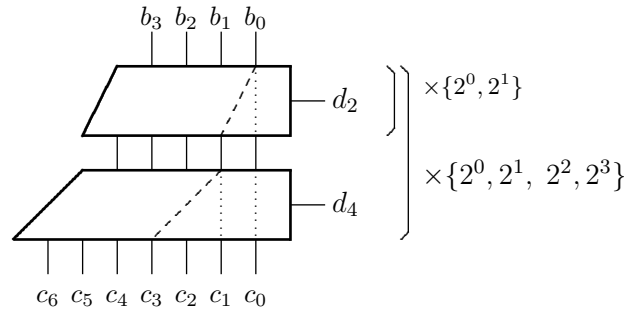


Figura 6.9: Deslocador de 4 bits, três posições.

Adicionando mais um deslocador de quatro posições, como mostra a Figura 6.10, o que se obtém é um deslocador idêntico ao de três posições quando $d_{16} = 0$, ou um deslocador que desloca de $4 + \{0, 1, 2, 3\}$ posições quando $d_{16} = 1$. Se $D = num(d_{16}d_4d_2)$, então $C = 2^D \times B$.

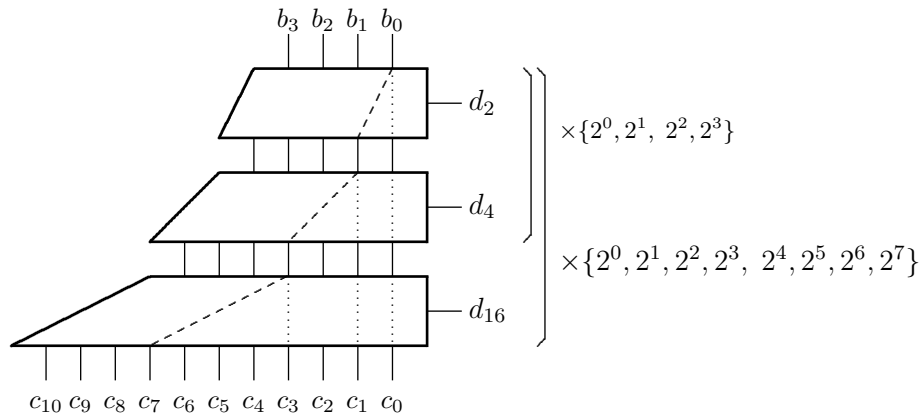


Figura 6.10: Deslocador de 4 bits, sete posições.

Se adicionarmos um deslocador de oito posições ao circuito da Figura 6.10, o resultado é idêntico ao do deslocador de sete posições quando $d_{256} = 0$, ou um resultado deslocado de $8 + \{0, 1, 2, 3, 4, 5, 6, 7\}$ posições quando $d_{256} = 1$. Neste caso, o circuito efetua deslocamentos de qualquer número de posições no intervalo $[0, 15]$. O deslocador de 15 posições é mostrado na Figura 6.11.

Adiante teremos uso para deslocadores de até 31 posições. Tal circuito é a extensão, agora já óbvia do deslocador de 15 posições: adicionamos um deslocador de 16 posições ao projeto da Figura 6.11, e assim é possível efetuar qualquer deslocamento no intervalo $[0, 31]$.

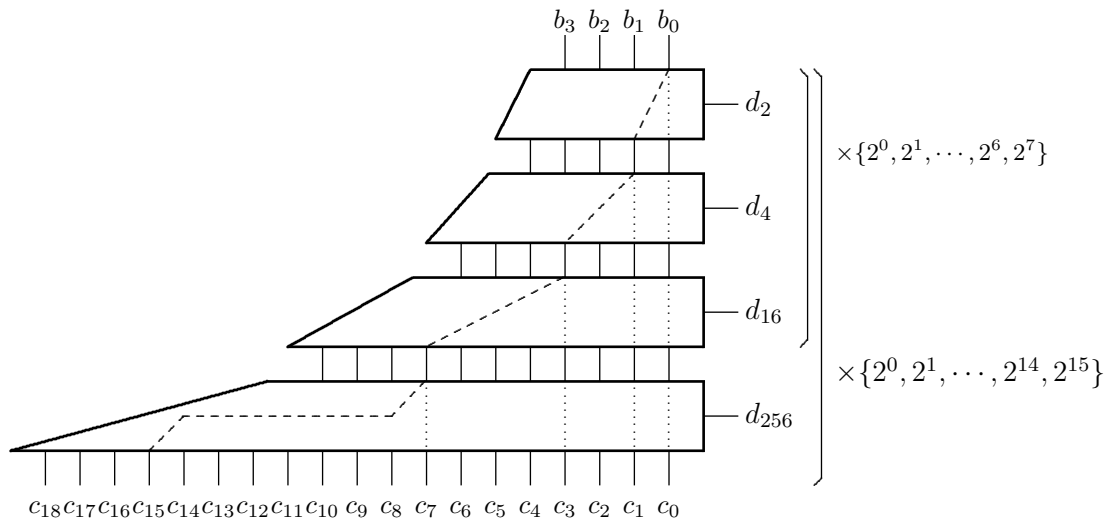


Figura 6.11: Deslocador de 4 bits, 15 posições.

O deslocamento da saída é definido pelas entradas de controle dos deslocadores intermediários: em cada deslocador, ou a entrada não se altera, se $d_n=0$, ou é deslocada de $\log_2 n$ posições, se $d_n=1$. A Figura 6.11 mostra cinco das 16 possibilidades de deslocamento para o bit b_0 , e estas são indicadas na Tabela 6.4.

Tabela 6.4: Deslocamentos no deslocador exponencial.

posições	D	ligação	S
0	0000	$b_0 \mapsto c_0$	$B \times 2^0$
1	0001	$b_0 \mapsto c_1$	$B \times 2^1$
3	0011	$b_0 \mapsto c_3$	$B \times 2^{2+1}$
7	0111	$b_0 \mapsto c_7$	$B \times 2^{4+2+1}$
15	1111	$b_0 \mapsto c_{15}$	$B \times 2^{8+4+2+1}$

Em *deslocamentos lógicos*, os bits que são inseridos nos extremos são sempre 0. Em *deslocamentos aritméticos*, o sinal do número deve ser preservado nos deslocamentos à direita. Esta diferença é explorada no Exercício 6.19.

6.4.2 Rotação

Um deslocador rotacional (*barrel shifter*) é um circuito similar ao deslocador exponencial, mas a saída do deslocador rotacional é sua entrada com uma rotação de d posições. Após uma rotação de uma posição para a esquerda, $s_i = b_{i-1}$ se $i \in [1, n)$, e $s_0 = b_{n-1}$. A Tabela 6.5 e a Equação 6.9 especificam o comportamento de um deslocador rotacional com quatro bits de largura. O operador *mod* computa o resto da divisão inteira.

$$\forall i, d \in \{0, 1, 2, 3\} \bullet s_i = b_{(i-d) \bmod 4} \tag{6.9}$$

Tabela 6.5: Comportamento de um deslocador rotacional de quatro bits.

d_1d_0	s_3	s_2	s_1	s_0
00	b_3	b_2	b_1	b_0
01	b_2	b_1	b_0	b_3
10	b_1	b_0	b_3	b_2
11	b_0	b_3	b_2	b_1

Exercícios

Ex. 6.3 Mostre como implementar um deslocador exponencial com entrada de 4 bits, que desloca até quatro posições, empregando as portas de transmissão da Seção 5.7.2.

Ex. 6.4 Estenda o circuito da Figura 6.7 para que ele permita deslocamentos para a esquerda e para a direita. Atenção com os dois extremos s_0 e s_n .

Ex. 6.5 Estenda o circuito obtido no exercício anterior para que ele mantenha o sinal correto de números representados em complemento de dois.

Ex. 6.6 Estenda o circuito obtido no exercício anterior para que ele possa ser usado com números com e sem sinal. É necessária a adição de um sinal de controle para definir o tratamento do sinal.

Ex. 6.7 Altere o circuito do deslocador exponencial na Figura 6.7 para transformá-lo num deslocador rotacional.

Ex. 6.8 Implemente um deslocador rotacional de 8 bits usando multiplexadores com o número apropriado de entradas.

Ex. 6.9 Projete um circuito combinacional que produz em sua saída uma versão deslocada da entrada, conforme a especificação na Equação 6.10. Você deve determinar o valor de N .

$$\begin{aligned}
 E &: \mathbb{B}^4 \\
 S &: \mathbb{B}^N \\
 d &: \mathbb{B}^3 \\
 \text{circ} &: (\mathbb{B}^4 \times \mathbb{B}^3) \mapsto \mathbb{B}^N \\
 \text{circ}(E, S, d) &\equiv S = E \times 2^d, \quad 2^d \in \{1, 4, 16, 64, 256, 1024, 4096, 16384\}
 \end{aligned}
 \tag{6.10}$$

Ex. 6.10 Projete um circuito combinacional que produz em sua saída uma versão deslocada da entrada, conforme a especificação na Equação 6.11. Você deve determinar o valor de N . Qual a posição de E em S para $d = 0$?

$$\begin{aligned}
 E &: \mathbb{B}^8 \\
 S &: \mathbb{B}^N \\
 d &: \mathbb{B}^3 \\
 m &: \mathbb{B} \\
 \text{circ} &: (\mathbb{B} \times \mathbb{B}^8 \times \mathbb{B}^3) \mapsto \mathbb{B}^N \\
 \text{circ}(m, E, S, d) &\equiv [S = E \times 2^d] \triangleleft m \triangleright [S = E \div 2^d]
 \end{aligned}
 \tag{6.11}$$

Ex. 6.11 Seu circuito contém dois deslocadores exponenciais com 32 bits de largura, um que desloca para a esquerda, e outro que desloca para a direita. Mostre como mascarar (isolar) os oito bits do centro ($b_4 \dots b_{11}$) de um vetor de 16 bits com dois deslocamentos. Por *mascarar* entenda-se que todos os bits que não pertencem ao octeto central devem ser zero após ao final das operações.

Ex. 6.12 Considere que N e M são vetores de 32 bits e representam inteiros sem sinal. Explique os valores atribuídos aos sinais P, Q, R, S como resultado da avaliação dos comandos da linguagem C listados abaixo.

```
unsigned int L, M, N, P, Q, R;
P = (L >> 6) << 12;
Q = (M & 0xfffffc0) * 4096;
R = N & (16 - 1);
S = N & (1024 - 1);
```

6.5 Unidade de Lógica e Aritmética

Em seu curso de Programação já devem ter sido usadas as operações de soma, subtração, multiplicação, divisão, comparação de igualdade e de magnitude. Estas são ditas *operações de aritmética*. Algo como

```
x := x+1;
```

```
if (a = b) then ...
```

```
r1 := -b/4*a + squareroot(b*b - 4*a*c);
```

As *operações de lógica*, (**AND**, **OR**, **XOR**, **NOT**) serão empregadas mais adiante no curso.

As operações de lógica e aritmética são efetuadas no componente do processador chamado de *Unidade de Lógica e Aritmética* (ULA).

Uma vez que os operandos estejam disponíveis, o circuito da ULA efetua *todas* operações ao mesmo tempo, porque esta é a maneira mais simples e barata de construir o circuito. Dependendo do comando em C ou Pascal, somente uma dentre as possíveis operações (+, -, *, /, **AND**, **OR**, **XOR**, **NOT**) é escolhida pelo programador.

O circuito, em função do comando, escolhe um dos possíveis resultados – todos estão disponíveis, mas o programador escolhe um, e o circuito da ULA apresenta o resultado em função do comando em C ou Pascal.

Um programa em C ou Pascal é traduzido, pelo compilador, para uma sequência de operações simples, que estão disponíveis em *hardware* na ULA. Quando o programador escreve

```
x := x+1;
```

o programa traduzido pelo compilador para *linguagem de máquina* inclui a *instrução*

```
ADD x, x, 1
```

e o circuito da ULA apresenta em sua saída o resultado da soma dos dois operandos.

A *Unidade de Lógica e Aritmética* (ULA) é a unidade funcional de um processador na qual as operações sobre os dados são efetuadas. A ULA é um circuito combinacional com duas entradas de dados, uma de controle, e uma ou duas saídas de resultados. A Equação 6.12 define seu

comportamento e a Figura 6.12 mostra o símbolo usado para representá-la. A operação é selecionada pelo sinal F e, neste caso, pode ser uma dentre soma, subtração, deslocamento de uma posição, complemento, conjunção, ou-exclusivo ou disjunção.

$$\begin{aligned}
 &A, B, R : \mathbb{B}^4 \\
 &F, T : \mathbb{B}^3 \\
 &ULA-4x8 : [(\mathbb{B}^4 \times \mathbb{B}^4) \times \mathbb{B}^3] \mapsto (\mathbb{B}^4 \times \mathbb{B}^3) \\
 &ULA-4x8(A, B, F, R, T) \equiv (R, T) = \Omega_F(A, B) \\
 &\Omega \in \{+, -, \ll, \gg, \neg, \wedge, \oplus, \vee\}
 \end{aligned} \tag{6.12}$$

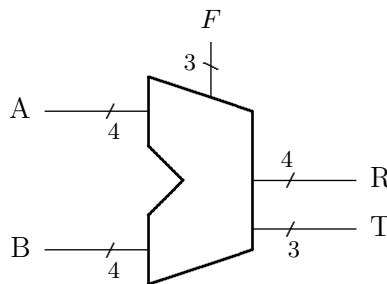


Figura 6.12: Unidade de Lógica e Aritmética.

Os operandos A e B são apresentados às entradas e o resultado R é obtido na saída da ULA. A saída T (*sTatus*) contém bits com informação sobre o resultado, indicando se aquele é zero ou negativo, por exemplo. O sinal F define qual é a operação efetuada sobre os operandos. As entradas A e B e a saída R são representadas por sinais de 4 bits; a escolha da função F e o *status* do resultado T são representados por sinais de 3 bits. Os operandos têm apenas 4 bits para simplificar a descrição do circuito. A Tabela 6.6 mostra os resultados das oito operações da ULA sobre o par de operandos $A = 0011$ e $B = 1100$; o significado das três colunas da direita (*status*) é explicitado adiante.

Tabela 6.6: Operações de lógica e aritmética sobre $A = 0011$ e $B = 1100$.

F	operação	resultado	status		
			n	z	v
0	$+$ $R = A + B$	$0011 + 1100 = 1111$	1	0	0
1	$-$ $R = A - B$	$0011 - 1100 = 0111$	0	0	0
2	\ll $R = A \ll 1$	$0011 \ll 1 = 0110$	0	0	0
3	\gg $R = A \gg 1$	$0011 \gg 1 = 0001$	0	0	0
4	\neg $R = \bar{A}$	$\overline{0011} = 1100$	1	0	0
5	\wedge $R = A \wedge B$	$0011 \wedge 1100 = 0000$	0	1	0
6	\oplus $R = A \oplus B$	$0011 \oplus 1100 = 1111$	1	0	0
7	\vee $R = A \vee B$	$0011 \vee 1100 = 1111$	1	0	0

Uma ‘fatia’ da ULA com largura de um bit é mostrada na Figura 6.13. Os circuitos para as outras fatias são idênticos; para construir uma ULA com N bits de largura, emprega-se N cópias da fatia de um bit. As extremidades são especiais por causa dos deslocamentos. O

sinal F escolhe uma das oito entradas do multiplexador, que é a operação a realizar sobre as entradas a_i e b_i .

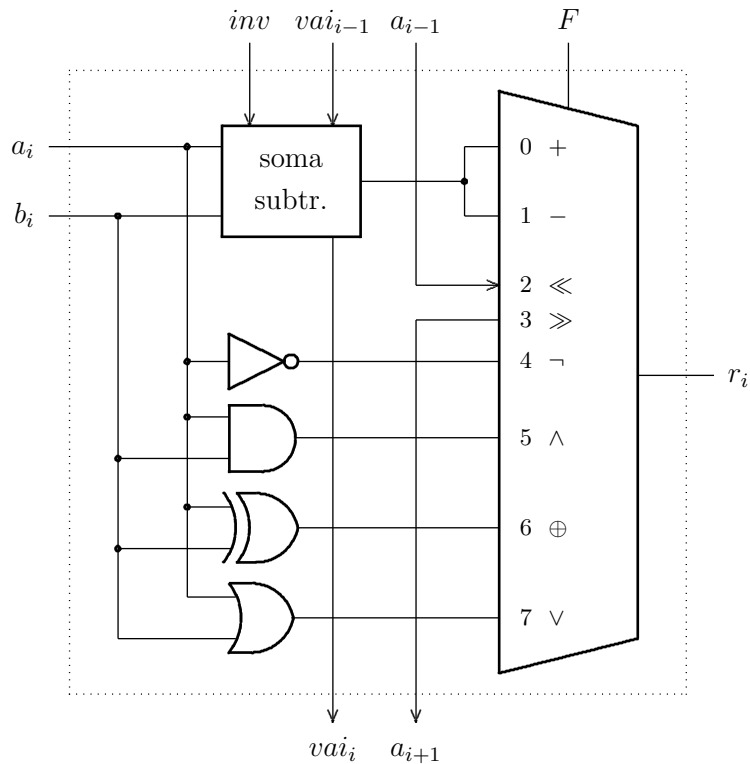


Figura 6.13: Fatia para o i -ésimo bit da ULA.

O circuito computa *todas as oito funções* simultaneamente e o sinal F determina qual resultado é apresentado à saída r_i . Nos deslocamentos, as entradas são os bits vizinhos, da esquerda e da direita, e $a_0 = 0$ no deslocamento à esquerda, e $a_3 = 0$ no deslocamento à direita.

6.5.1 Status

O circuito completo da ULA de 4 bits é obtido pela justaposição de quatro cópias do circuito da Figura 6.13, com as ligações apropriadas. O *status* da operação da ULA é obtido do sinal T , que indica se o resultado é negativo ($t_2 = 1$), se é zero ($t_1 = 1$), ou se ocorreu um vai-um do bit mais significativo ($t_0 = vai_3$). O uso de um mnemônico facilita lembrar o significado dos bits de *status*: $T = \langle t_2, t_1, t_0 \rangle = \langle n, z, v \rangle$, para ‘negativo’, ‘zero’ e ‘vai-um’. A implementação dos circuitos dos bits de *status* é discutida nos Exercícios 6.15 a 6.17.

6.5.2 Detecção de overflow

Considerando o circuito da Figura 6.6, que efetua somas e subtrações, devemos projetar um circuito que detecte a ocorrência de *overflow* tanto nas somas como nas subtrações. A Tabela 6.7 contém todas as combinações de sinais dos operandos – que podem ser positivos ou negativos – com operações – soma com $inv = 0$ e subtração com $inv = 1$.

Com base na Tabela 6.7, podemos derivar um sinal que indica a possibilidade de ocorrência de *overflow* somente com base nos sinais dos operandos e na operação. A possibilidade de que ocorra *overflow* é indicada por

$$poss_ovfl = \neg(a_3 \oplus inv \oplus b_3). \quad (6.13)$$

Tabela 6.7: Possibilidade de *overflow* em circuito que soma e subtrai.

a_3	inv	b_3	<i>overflow</i>	razão
0	0	0	possível	soma com sinais iguais
0	0	1	não	soma com sinais distintos
0	1	0	não	subtração com sinais iguais
0	1	1	possível	subtração com sinais distintos
1	0	0	não	soma com sinais distintos
1	0	1	possível	soma com sinais iguais
1	1	0	possível	subtração com sinais distintos
1	1	1	não	subtração com sinais iguais

A técnica para detecção de *overflow*, indicada na Seção 6.1.2, não é muito prática porque envolve uma soma adicional no caminho mais longo do tempo de propagação de um somador – a ocorrência de *overflow* implicaria em duas linhas adicionais no diagrama da Figura 6.5, com o resultado disponível após 10 unidades de tempo.

Um método mais simples compara o vai-um das duas posições mais significativas: se eles são diferentes, então o resultado da soma não está representado corretamente. No nosso exemplo de 4 bits, para a soma temos

$$ovfl_soma = vai_3 \oplus vai_2. \quad (6.14)$$

Por outro lado, numa subtração a representação é errada se os vai-um são iguais

$$ovfl_subtr = \neg(vai_3 \oplus vai_2). \quad (6.15)$$

Combinando essas duas equações e lembrando que o sinal $inv = 0$ indica uma soma, temos

$$overflow = vai_3 \oplus vai_2 \oplus inv. \quad (6.16)$$

O circuito da Equação 6.16 provê o resultado em 9 unidades de tempo, se consideramos os parâmetros da Figura 6.5.

O código gerado pelo compilador da linguagem Pascal sinaliza a ocorrência de *overflow* nas operações com inteiros. O compilador para C ignora esses eventos e é responsabilidade da programadora detectar e corrigir os erros de representação. A Equação 6.13 indica que o resultado de uma soma ou subtração deva ser verificado e talvez corrigido.

Exercícios

Ex. 6.13 Desenhe um diagrama com o circuito completo da ULA com as 4 fatias e todas as ligações entre elas. Use uma folha A3 para que os circuitos dos exercícios abaixo possam ser incluídos no mesmo diagrama.

Ex. 6.14 Mostre como o circuito para inverter a entrada B do somador ($\overline{B} \triangleleft inv \triangleright B$) pode ser implementado com *uma* porta lógica de duas entradas.

Ex. 6.15 Projete os circuitos que computam os dois sinais de *status* da ULA: (i) um circuito para verificar se o resultado é negativo; (ii) um circuito para verificar se o resultado é zero.

Ex. 6.16 Estenda o somador para detectar a ocorrência de *overflow* e acrescente um bit de *status* à ULA. *Pista:* veja a Seção 6.5.2.

Ex. 6.17 Mostre como implementar comparações de igualdade ($A=B$) e de magnitude ($A<B$). *Pista:* use subtrações.

Ex. 6.18 Adicione os circuitos e ligações adicionais à ULA para permitir rotações de uma posição, além de deslocamentos de uma posição.

Ex. 6.19 Modifique o circuito do Exercício 6.18 para permitir deslocamentos lógicos e aritméticos. Note que estas adições implicam em aumentar o número de sinais de controle fazendo com que $|F| > 3$.

6.6 Somador com Adiantamento de Vai-um

A soma é uma operação deveras popular, e desde a década de 1940 projetistas se dedicam a inventar circuitos com tempos de propagação cada vez mais curtos. O caminho crítico de um somador é a cadeia de propagação do vai-um, e esse é o ponto de partida óbvio.

Considere o somador de 4 bits mostrado na Figura 6.4. Supondo que as entradas A e B e vem_0 estabilizem no instante t , o sinal vai_3 somente estabilizará após a propagação dos sinais através dos quatro somadores de um bit:

$$s_3 \longleftarrow s_2 \longleftarrow s_1 \longleftarrow s_0.$$

Supondo também que o tempo de propagação de uma porta lógica seja de uma unidade de tempo, então cada somador contribui com 2 unidades de tempo porque o sinal de vai-um é definido por

$$vai = a \wedge b \vee a \wedge vem \vee b \wedge vem,$$

e implementado com uma porta *or* de três entradas, mais três portas *and* de duas entradas. Dessa forma, para um somador de quatro bits, o sinal vai_3 estabiliza em 8 unidades de tempo, como mostra a Figura 6.5. Nessas condições, para um somador de 16 bits, o sinal vai_{15} estabilizaria após 32 unidades de tempo.

A Tabela 6.8 contém a tabela verdade de um somador completo de dois bits. A sexta coluna (\mathbb{N}) mostra o valor da soma na base 10. Dos mintermos 3 e 7 vemos que $vai = 1$ independentemente do valor de vem , donde

$$(a \wedge b) \Rightarrow (vai = 1). \quad (6.17)$$

Dos mintermos 1, 2, 5 e 6 vemos que, se $a \vee b$ então $vai = vem$, logo

$$(a \vee b) \Rightarrow (vai = vem). \quad (6.18)$$

Esses casos estão mostrados em **negrito** na Tabela 6.8.

Tabela 6.8: Soma de dois bits.

<i>vem</i>	<i>a</i>	<i>b</i>	<i>vai</i>	<i>s</i>	\mathbb{N}	<i>g</i>	<i>p</i>
0	0	0	0	0	0	0	0
0	0	1	0	1	1	0	1
0	1	0	0	1	1	0	1
0	1	1	1	0	2	1	1
1	0	0	0	1	1	0	0
1	0	1	1	0	2	0	1
1	1	0	1	0	2	0	1
1	1	1	1	1	3	1	1

As colunas *g* e *p* são, respectivamente, as funções *gera vai-um*: $g(a, b)$; e *propaga vai-um*: $p(a, b)$. A função $g(a, b) = 1$ sempre que o vai-um é 1. A função $p(a, b) = 1$ sempre que o vem-um deve ser propagado como vai-um. Com base nas Equações 6.17 e 6.18, a função que computa o vai-um pode ser escrita como

$$vai = g \vee (p \wedge vem). \tag{6.19}$$

O nome em Inglês para o ‘vai-um’ é *carry-out*, e por isso, no que segue, a letra *c* é usada para denotar os bits de vai-um nas cadeias de propagação. Um somador que computa os sinais de *gera vai-um* e *propaga vai-um* é mostrado na Figura 6.14. O sinal *p* pode ser implementado com um ou-exclusivo, ao invés de ou-inclusivo, porque quando as entradas *a* e *b* são 1, ambos *p* e *g* são 1.

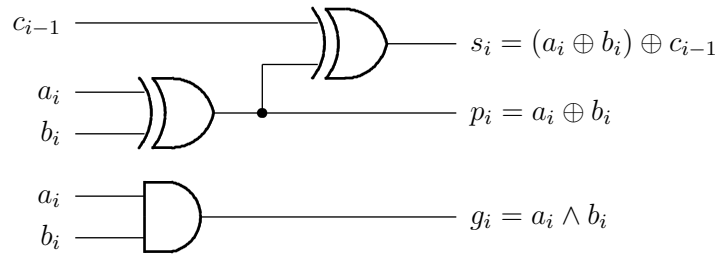


Figura 6.14: Circuito otimizado do somador completo.

Um quarteto É possível reduzir o tempo de propagação da cadeia de vai-um quando se observa que todos os bits das entradas estão disponíveis ao mesmo tempo, e portanto todos os bits de vai-um podem ser computados simultaneamente: c_3 depende das entradas a_3 e b_3 e de c_2 , que por sua vez depende de a_2 e b_2 e de c_1 , e assim sucessivamente. O que se quer é um circuito computa em paralelo, e então adianta, o valor de todos bits intermediários da cadeia de vai-um. Esta otimização é chamada de *adiantamento de vai-um*.

Considerando um somador de 4 bits, o vai-um dos bits menos significativo é:

$$c_0 = g_0 \vee (p_0 \wedge vem). \tag{6.20}$$

Temos dois casos:

- (i) se $a_0 \wedge b_0 = g_0 = 1$, então o vai-um é gerado pelos bits da posição 0;
- e
- (ii) $g_0 = 0$, e se $a_0 \vee b_0 = p_0 = 1$, então o vem-um é repassado para o somador da próxima posição.

Para o vai-um dos bits da próxima posição, $c_1(a_1, b_1, c_0)$, substituindo a expressão para c_0 obtemos

$$\begin{aligned} c_1 &= g_1 \vee (p_1 \wedge c_0) \\ &= g_1 \vee (p_1 \wedge [g_0 \vee (p_0 \wedge vem)]) \\ &= g_1 \vee (p_1 \wedge g_0) \vee (p_1 \wedge p_0 \wedge vem) \end{aligned} \tag{6.21}$$

São três as possibilidades: (i) ou o vai-um é gerado localmente (g_1), (ii) ou é gerado no somador vizinho e propagado ($p_1 \wedge g_0$), (iii) ou é gerado no vizinho do vizinho (vem) e propagado pelo vizinho ($p_1 \wedge p_0 \wedge vem$). Se parece ser um trava-língua é porque o é.

Se continuarmos com as substituições na derivação das equações para os dois bits de vai-um faltantes, obtemos as Equações 6.22 e 6.23. Estas equações refletem a intuição sobre o comportamento da cadeia de propagação do vai-um: ou o vai-um é gerado localmente, ou ele é propagado desde uma posição menos significativa.

$$c_2 = g_2 \vee (p_2 \wedge g_1) \vee (p_2 \wedge p_1 \wedge g_0) \vee (p_2 \wedge p_1 \wedge p_0 \wedge vem) \tag{6.22}$$

$$\begin{aligned} c_3 &= g_3 \vee (p_3 \wedge g_2) \vee (p_3 \wedge p_2 \wedge g_1) \vee (p_3 \wedge p_2 \wedge p_1 \wedge g_0) \\ &\quad \vee (p_3 \wedge p_2 \wedge p_1 \wedge p_0 \wedge vem) \end{aligned} \tag{6.23}$$

Um somador de 4 bits com cadeia de adiantamento de vai-um é mostrado na Figura 6.15. Os sinais de vai-um adiantados são gerados nos trapézios.

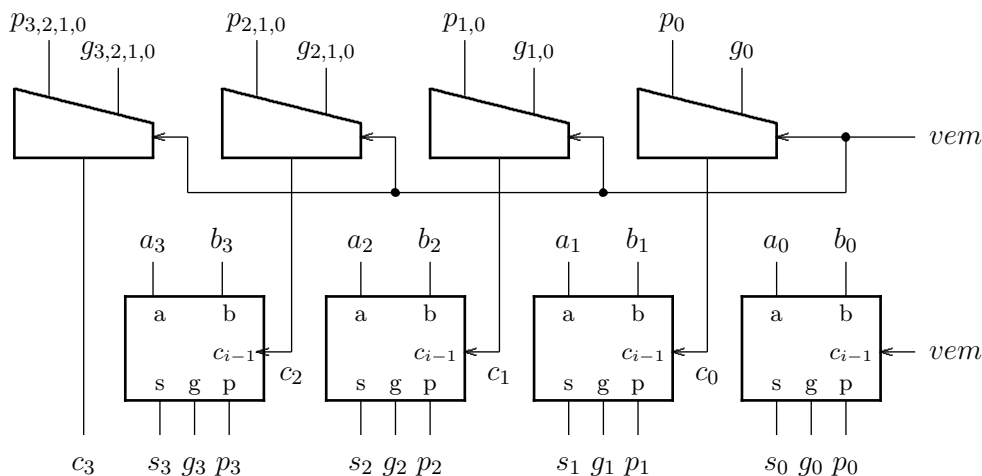


Figura 6.15: Somador de quatro bits com adiantamento de vai-um.

Se consideramos o circuito da Figura 6.14 e que o tempo de propagação de todas as portas lógicas é de uma unidade de tempo, então o valor da soma fica estável após 2 unidades de tempo e os sinais p e g estabilizam após 1 unidade. Se as entradas A, B, vem estabilizam no instante t , então podemos computar o tempo de propagação do somador de 4 bits otimizado:

- s_0 estabiliza em $t + 2$ porque se propaga somente através de dois xor;
- s_1 estabiliza em $t + 4$ porque se propaga através de portas *and* e *or* que geram p e g , mais um *and* seguido de um *or* para computar c_0 , e finalmente o xor de c_0 e $a_1 \oplus b_1$;
- c_0, c_1, c_2, c_3 estabilizam em $t + 3$ porque se propagam através de uma soma de produtos – dois ou mais *and* seguidos de um *or*;
- s_2, s_3 estabilizam em $t + 4$ porque se propagam através de um xor de c_{i-1} e $a_i \oplus b_i$.

Comparando-se com o somador original, o somador de 4 bits com adiantamento de vai-um produz resultados na metade do tempo. Este ganho de desempenho é (ligeiramente) superestimado porque o tempo de propagação das portas é proporcional ao número de entradas – o seu *fan-in*. Assim, o tempo de propagação de c_3 é algo mais longo do que o de c_1 . Uma estimativa precisa do tempo de propagação depende dos detalhes da implementação, e de temporização, das portas lógicas. Para circuitos de tamanho realista, emprega-se simulações detalhadas para determinar o tempo de propagação.

Resultados de simulação com tempos de propagação realistas são mostrados na Figura 6.16, quando se efetua a soma $0001 + 1111$. De cima para baixo são listadas as entradas *inpa*[15:0] e *inpb*[15:0], o resultado com um somador sem adiantamento *rescadeia*[15:0], e os sinais individuais de soma e vai-um para os quatro somadores completos, de s_0 a s_3 . O resultado, determinado pelo sinal *vai*₃, estabiliza após 190ps.

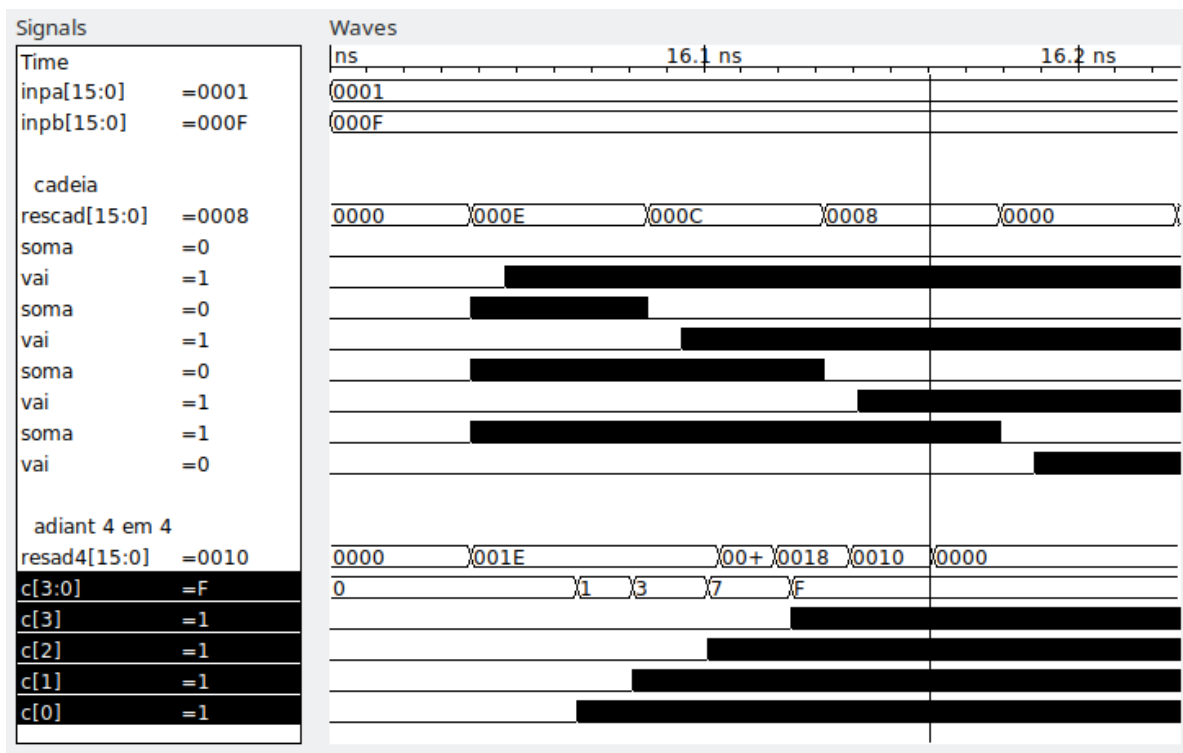


Figura 6.16: Simulação de somadores de 4 bits com adiantamento de vai-um.

O resultado para o somador com adiantamento de vai-um é *resad4*[15:0]; os bits de adiantamento são mostrados como um vetor de 4 bits, *c*[3:0] e individualmente *c*[3] a *c*[0]. A linha vertical indica o instante em que a soma estabiliza, o que ocorre após 160ps. Os sinais de Vai-um, os c_i , estabilizam antes que os sinais da soma s_i , que não é o que ocorre com o somador sem adiantamento.

O ganho obtido com o circuito mais complexo, que efetua a soma em $160/190 = 0,84$ do tempo do somador simples, pode não parecer suficiente em face da complexidade adicional. Contudo, a promessa de ganhos da ordem de $1/2$ se realiza quando aplicamos o adiantamento em somadores mais largos, como aqueles de 16 bits.

Quatro quartetos A mesma ideia do adiantamento de 4 bits pode ser empregada para adiantar o vai-um em somadores de 16 bits, considerando-se agora quatro grupos de 4 bits. As Equações 6.24 e 6.25 definem a propagação do vem-um através de um quarteto, e a geração do vai-um em qualquer posição do quarteto, respectivamente.

A propagação através de um quarteto pode ‘pular’ o quarteto se todos os seus quatro somadores propagariam o vem-um e isso é codificado na Equação 6.24, expandida para 16 bits.

$$\begin{aligned} P_0 &= p_3 \wedge p_2 \wedge p_1 \wedge p_0 \\ P_1 &= p_7 \wedge p_6 \wedge p_5 \wedge p_4 \\ P_2 &= p_{11} \wedge p_{10} \wedge p_9 \wedge p_8 \\ P_3 &= p_{15} \wedge p_{14} \wedge p_{13} \wedge p_{12} \end{aligned} \quad (6.24)$$

Ocorre vai-um no quarteto se: (i) ocorre vai-um do quarto somador; ou (ii) ocorre vai-um no terceiro somador e é propagado pelo quarto; ou (iii) ocorre vai-um no segundo somador e é propagado pelo terceiro e pelo quarto; ou (iv) ocorre vai-um no primeiro somador e é propagado pelos outros três. Essa mesma informação está codificado na Equação 6.23. A Equação 6.25 estende a computação de vai-um para os quatro quartetos de somadores.

$$\begin{aligned} G_0 &= g_3 \vee p_3 \wedge g_2 \vee p_3 \wedge p_2 \wedge g_1 \vee p_3 \wedge p_2 \wedge p_1 \wedge g_0 \\ G_1 &= g_7 \vee p_7 \wedge g_6 \vee p_7 \wedge p_6 \wedge g_5 \vee p_7 \wedge p_6 \wedge p_5 \wedge g_4 \\ G_2 &= g_{11} \vee p_{11} \wedge g_{10} \vee p_{11} \wedge p_{10} \wedge g_9 \vee p_{11} \wedge p_{10} \wedge p_9 \wedge g_8 \\ G_3 &= g_{15} \vee p_{15} \wedge g_{14} \vee p_{15} \wedge p_{14} \wedge g_{13} \vee p_{15} \wedge p_{14} \wedge p_{13} \wedge g_{12} \end{aligned} \quad (6.25)$$

A Equação 6.26 combina os sinais de geração e propagação de vai-um dos quartetos. C_0 depende unicamente do quarteto menos significativo (s_3 a s_0) e de vem . C_1 depende das suas entradas e de G_0 e P_0 . C_2 depende das suas entradas e de seus vizinhos $\langle G_0, P_0 \rangle$ e $\langle G_1, P_1 \rangle$. C_3 depende das suas entradas e de seus vizinhos $\langle G_0, P_0 \rangle$, $\langle G_1, P_1 \rangle$ e $\langle G_2, P_2 \rangle$. O sinal C_3 é o vai-um adiantado do somador na posição mais significativa: $C_3 = c_{15} = vai$.

$$\begin{aligned} C_0 &= G_0 \vee P_0 \wedge vem \\ C_1 &= G_1 \vee P_1 \wedge G_0 \vee P_1 \wedge P_0 \wedge vem \\ C_2 &= G_2 \vee P_2 \wedge G_1 \vee P_2 \wedge P_1 \wedge G_0 \vee P_2 \wedge P_1 \wedge P_0 \wedge vem \\ C_3 &= G_3 \vee P_3 \wedge G_2 \vee P_3 \wedge P_2 \wedge G_1 \vee P_3 \wedge P_2 \wedge P_1 \wedge G_0 \\ &\quad \vee P_3 \wedge P_2 \wedge P_1 \wedge P_0 \wedge vem \end{aligned} \quad (6.26)$$

O circuito do somador de 16 bits com adiantamento de vai-um é mostrado na Figura 6.17. Os somadores são agrupados em blocos de quatro, e o vai-um de cada quarteto é computado pelo circuito de adiantamento de vai-um, mostrado como um trapézio na figura. Cada quarteto implementa as Equações 6.20 a 6.23 e os sinais C_0 , C_1 , C_2 , e C_3 são gerados simultaneamente pelos quatro circuitos de adiantamento nos trapézios, com circuitos que implementam as Equações 6.26.

Exemplo 6.8 Façamos uma primeira estimativa para o tempo de propagação dos sinais das Equações 6.24, 6.25, e 6.26. Iniciemos pelo mais simples: o tempo de propagação dos P_i é determinado pela ligação dos p_i (t_{x2}) às quatro entradas de um *and-4* (t_{a4}) e portanto

$$T(P_i) = t_{a4} + t_{x2}. \quad (6.27)$$

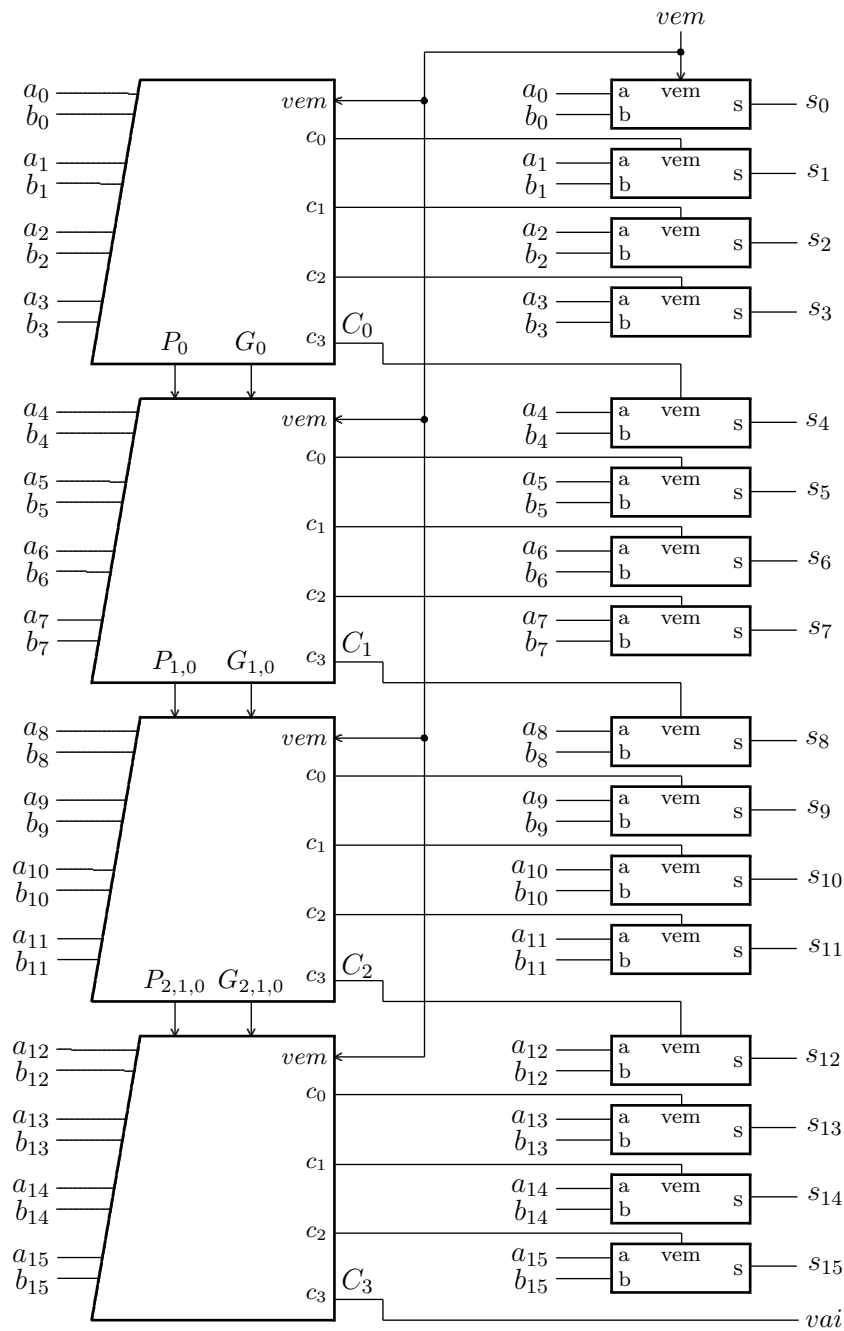


Figura 6.17: Somador de 16 bits com adiantamento de 4 quartetos.

As Equações 6.25 para os G_i consistem de um or -4 (t_{o4}) ligado a um and -4 (t_{a4}), que por sua vez é ligado aos and -2 (t_{a2}) e xor -2 de g_i e p_i

$$T(G_i) = t_{o4} + t_{a4} + \max(t_{x2}, t_{a2}). \quad (6.28)$$

Da Equação 6.26, temos para C_0

$$T(C_0) = t_{o2} + \max(T(G_0), t_{a2} + T(P_0)) \quad (6.29)$$

O tempo de propagação de C_3 é determinado pelos caminhos mais longos:

$$T(C_3) = t_{o5} + \max\{ [(t_{a4} + \max(T(P_i), T(G_i)))] , [t_{a5} + T(P_i)] \}. \quad (6.30)$$

Aqui, para estimar o tempo de propagação supusemos que o tempo de propagação é dominado pelas portas com maior *fan-in*, e ignoramos seus *fan-out*'s. \triangleleft

6.7 Somador com Seleção de Vai-um

Uma alternativa para a implementação de somadores rápidos é indicada na Figura 6.18, que mostra um somador de 8 bits construído com três somadores de 4 bits. Este circuito é chamado de “somador com seleção de vai-um” (*carry select adder*) porque a metade mais significativa do resultado é *seleccionada* pelo vai-um da metade menos significativa.

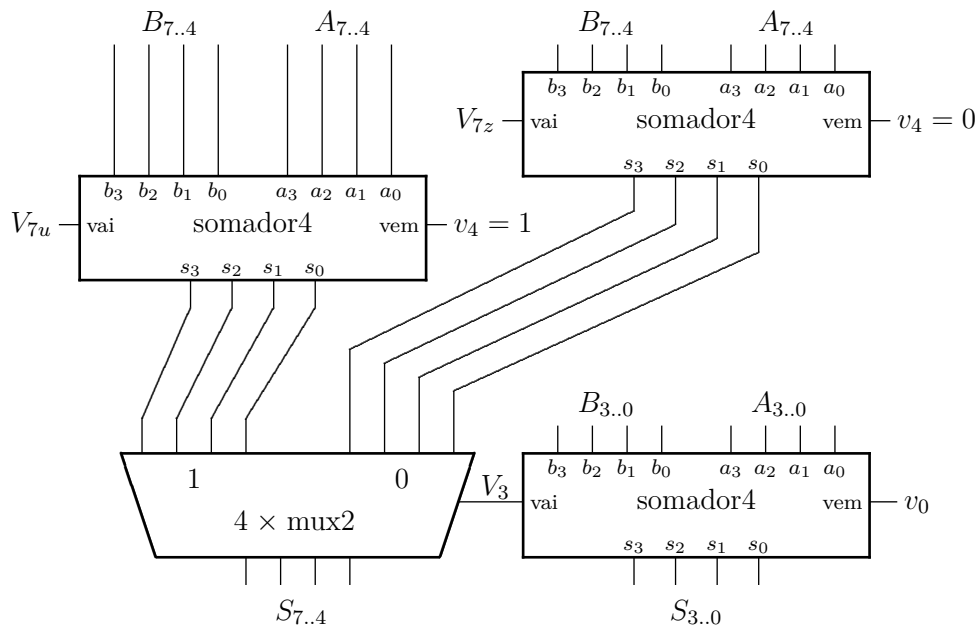


Figura 6.18: Somador com seleção de vai-um.

A parte menos significativa do resultado é obtida pela soma dos dois operandos e do vem-um:

$$\langle V_3 S_{3..0} \rangle = A_{3..0} + B_{3..0} + v_0.$$

A parte mais significativa da soma é obtida em paralelo com a parte menos significativa, computando-se simultaneamente, e de forma especulativa, duas alternativas para o vai-um da parte menos significativa, uma com $v_4 = 0$, e a outra com $v_4 = 1$.

$$\langle V_7 S_{7..4} \rangle = A_{7..4} + B_{7..4} + v_4.$$

Quando os sinais se propagam através do somador da parte menos significativa, e o valor de V_3 fica estável, este é usado para escolher um dos dois resultados parciais, através do multiplexador de 4 bits de largura.

Um diagrama de tempos com a soma de dois pares de valores é mostrado na Figura 6.19. A parte menos significativa da soma, $S_{3..0} = \alpha_{3..0} + \beta_{3..0} + v_0$ é computada pelo somador na parte de baixo da Figura 6.18, e este valor fica disponível após o tempo de propagação do somador T_{s4} .

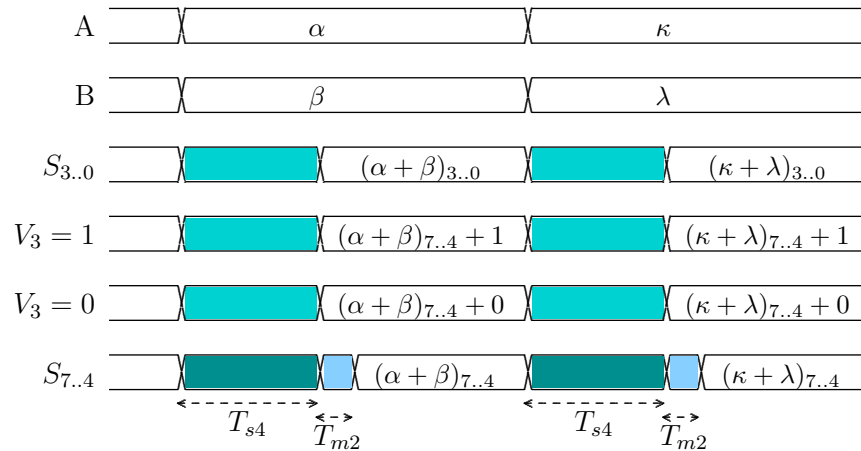


Figura 6.19: Temporização do somador com seleção de vai-um.

Simultaneamente, as duas versões da parte mais significativa da soma, $\alpha_{7..4} + \beta_{7..4} + 1$ e $\alpha_{7..4} + \beta_{7..4} + 0$ são computadas pelos somadores na parte de cima da Figura 6.18, e estes dois valores também ficam disponíveis após T_{s4} .

O valor final para a parte mais significativa da soma é escolhido pelo vai-um do somador dos bits menos significativos (V_3), e o valor $S_{7..4}$ fica definido e estável após os sinais se propagarem através do multiplexador (T_{m2}). Assim, o tempo de propagação deste somador é $T_{s4} + T_{m2}$, que é um tanto menor do que o tempo de propagação de dois somadores ligados em série: $2T_{s4}$.

O vai-um da soma em 8 bits depende do valor de V_3 , e é dado por $V_7 = (V_{7z} \vee V_3) \wedge V_{7u}$.

Infelizmente o tempo de propagação do somador de 8 bits é um tanto maior do que o de um somador de 4 bits por causa do multiplexador de duas entradas. O sinal V_3 , que seleciona o valor final da saída, é um sinal com um *fan-out* elevado. Quanto maior a largura do somador, maior é o *fan-out* de V_3 , e mais demorada a seleção da metade mais significativa do resultado.

Se o número de bits do somador da parte mais significativa for maior do que o da parte menos significativa, então o tempo de propagação desse somador pode compensar a propagação através do multiplexador. Por exemplo, se implementarmos o somador da parte menos significativa com 3 bits e o da parte mais significativa com 5 bits, então o tempo de propagação desse novo projeto seria mais curto que aquele do circuito da Figura 6.18.

Exercícios

Pista: Uma planilha pode ser útil para resolver estes problemas.

Ex. 6.20 Estime o tempo de propagação do somador de 16 bits com o adiantamento de vai-um definido na Equação 6.26, considerando que cada entrada além da segunda adiciona ao tempo de propagação da porta lógica 20% do seu tempo original. Considere que $T_p = 1$ para todas portas de duas entradas.

Ex. 6.21 Uma vez que você tenha resolvido o Ex. 6.20, considere uma implementação das Equações 6.24, 6.25 e 6.26, que emprega somente portas de duas entradas – isso é possível (e razoável) porque várias subexpressões aparecem repetidas nas equações. Compare o tempo de propagação desta implementação com aquela do Ex. 6.20.

Ex. 6.22 Estime o tempo de propagação de um somador de 32 bits com seleção de vai-um, implementado com três somadores de 16 bits iguais ao que você avaliou para responder ao Ex. 6.20. Considere que o *fan-out* não influencia o tempo de propagação das portas lógicas. Considere que $T_p = 1$ para todas portas lógicas de duas entradas.

Ex. 6.23 Repita o Ex. 6.22, agora considerando que cada saída adicional, além da primeira, piora o tempo de propagação da porta lógica em 10% do seu tempo original – cada incremento no *fan-out* da porta aumenta o seu tempo de propagação em 10%. Considere que $T_p = 1$ para todas portas lógicas de duas entradas, quando ligadas a uma única saída – com *fan-out* de 1.

6.8 Multiplicação

Efetue a multiplicação indicada abaixo *sem* nenhuma das simplificações que fazemos automaticamente ao multiplicar a mão.

$$\begin{array}{r} 1011 \\ \times 1001 \\ \hline \end{array}$$

Espaço em branco proposital.

A multiplicação, sem simplificações, é mostrada na Figura 6.20. A coluna da direita indica o dígito do multiplicador que multiplica cada parcela do resultado parcial. As parcelas multiplicadas por 0 são mostradas em *itálico>*, e normalmente as ignoramos ao somar as parcelas do produto parcial.

$$\begin{array}{r}
 11 \\
 \times 9 \\
 \hline
 99 \\
 \\
 \begin{array}{r}
 1\ 0\ 1\ 1 \\
 \times 1\ 0\ 0\ 1 \\
 \hline
 1\ 0\ 1\ 1 \quad \times 1 \\
 + \quad 1^1\ 0\ 1\ 1 \quad \times 0 \\
 + \quad 1^1\ 0\ 1\ 1 \quad \times 0 \\
 + \quad 1\ 0\ 1\ 1 \quad \times 1 \\
 \hline
 1\ 1\ 0\ 0\ 0\ 1\ 1
 \end{array}
 \end{array}$$

Figura 6.20: Exemplo de multiplicação: 11×9 .

O resultado da multiplicação da Figura 6.20 é o mesmo, se os números representam valores na base 10, ou na base 2. Se consideramos a base 2, então $11 \times 9 = 99$ é o resultado, como mostra a Figura 6.20.

Se multiplicarmos dois números de n bits, o produto será representado em, no máximo, $2n$ bits porque $2^n \times 2^n = 2^{2n}$. Números com n bits representam valores no intervalo $[0, 2^n - 1]$, e

$$2^{2n-1} < (2^n - 1)^2 < 2^{2n}.$$

O produto de dois números de n bits é estritamente menor que 2^{2n} , e portanto a multiplicação não provoca *overflow*.

6.8.1 Acumulação de Produtos Parciais – Versão 1

Nossa primeira tentativa de implementar um multiplicador combinacional é uma reprodução exata do algoritmo da Figura 6.20, para um multiplicando X , multiplicador Y , e produto Z .

Cada parcela da soma é computada por um bloco que efetua o produto do multiplicando X pelo dígito correspondente àquela parcela do multiplicador, y_i . O bloco contém um somador que acrescenta o produto $X \times y_i$ à soma que acumula as parcelas ‘anteriores’ do produto.

Este bloco é especificado pela Equação 6.31. A soma dos dois operandos de 4 bits produz um resultado em 5 bits. Se $s = 0$, então o produto parcial desta parcela é zero; como a saída R tem 5 bits, um 0 é concatenado à esquerda da entrada A – o ‘&’ denota a concatenação. Do contrário, $s = 1$, e à soma das parcelas anteriores (A) é acrescentado mais um multiplicando (B).

$$\begin{array}{l}
 s : \mathbb{B} \\
 A, B : \mathbb{B}^4 \\
 R : \mathbb{B}^5 \\
 mp1 : \mathbb{B} \times (\mathbb{B}^4 \times \mathbb{B}^4) \mapsto \mathbb{B}^5 \\
 mp1(s, A, B, R) \equiv num(R) = [num(A) + num(B)] \triangleleft s \triangleright [0 \& A]
 \end{array} \tag{6.31}$$

A entrada A do primeiro bloco $mp1$ é zero porque a primeira parcela é, no máximo, $y_0 \times X$. De cada uma das parcelas extrai-se um bit definitivo do produto: da primeira resulta o bit z_0 , da segunda z_1 , da terceira z_2 , e da quarta z_3 – reveja a Figura 6.20. Da quarta parcela resultam

ainda os quatro bits mais significativos do produto, $\{z_7, z_6, z_5, z_4\}$. A Figura 6.21 mostra o multiplicador de 4×4 bits, com os multiplicando X e multiplicador Y no topo, e o produto Z na base.

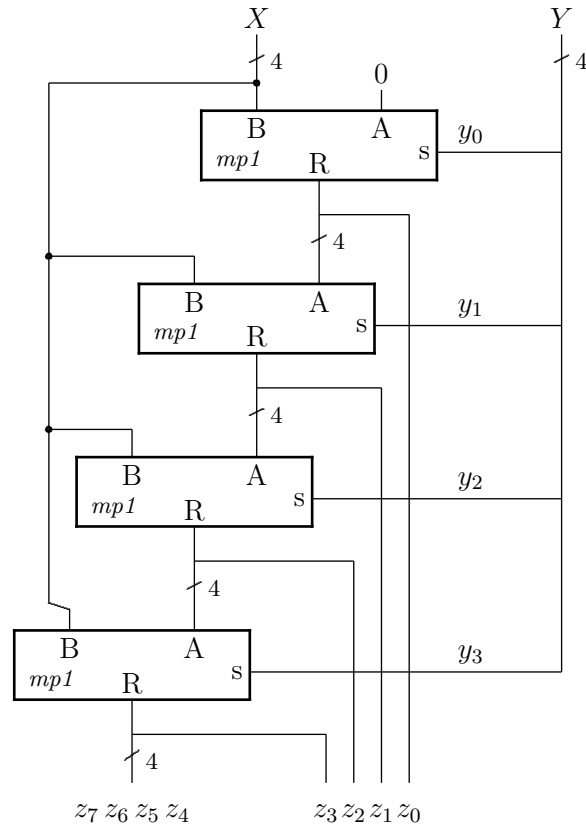


Figura 6.21: Primeira implementação da multiplicação em 4×4 bits.

O bloco que computa a primeira parcela consiste somente de quatro *mux-2*, que selecionam 0 se $y_0 = 0$, ou o multiplicando se $y_0 = 1$. Os demais blocos contém um somador seguido de um multiplexador. Se o tempo de propagação de um somador completo é T_S , e o de um multiplexador T_x , então o tempo de propagação deste circuito é de

$$T_{m1} = 3 \times 4 \times T_S + 4 \times T_x$$

porque a saída de cada *mp1* atravessa um *mux-2* e o valor do bit z_7 depende da propagação do vai-um através dos quatro somadores completos de cada uma das três últimas parcelas.

A Equação 6.31 parece indicar um multiplexador para selecionar um dentre adicionar uma nova parcela ($s_i = 1$), ou adicionar zero ($s_i = 0$). A leitora atenta certamente percebeu a otimização: ao invés de um multiplexador basta uma porta *and* para efetuar a multiplicação por 1, ou por 0, e com isso removemos duas portas lógicas do caminho crítico de cada parcela.

Para operandos com n bits, o tempo de propagação deste circuito é

$$T_{m1} \propto n \times (n - 1)$$

enquanto seu custo é

$$C_{m1} \propto n \times (n - 1) \approx n^2$$

porque são necessários $n \times (n - 1)$ somadores e n^2 portas *and*.

6.8.2 Acumulação de Produtos Parciais – Versão 2

Circuitos multiplicadores combinacionais que implementam diretamente o algoritmo da Figura 6.20 são chamados de *multiplicadores com acumulação de produtos parciais*. A tabela abaixo mostra a multiplicação de 1×1 bits, e esta função é implementada pela função \wedge .

$$\begin{array}{c|cc}
 \times & 0 & 1 \\
 \hline
 0 & 0 & 0 \\
 1 & 0 & 1 \\
 \hline
 \end{array} \tag{6.32}$$

A Figura 6.22 explicita as posições dos dígitos dos operandos para que possamos construir um circuito multiplicador. O bit menos significativo do produto, p_0 é obtido diretamente da conjunção dos bits menos significativos dos operandos, a_0 e b_0 – para simplificar a figura, a conjunção é indicada pela justaposição de dois bits. O bit p_1 é a soma de duas conjunções e o vai-um desta soma é usado para computar o valor de p_2 . O valor do bit p_7 depende da soma de todas as parcelas, exceto p_0 .

				a_3	a_2	a_1	a_0	
				b_3	b_2	b_1	b_0	
				a_3b_0	a_2b_0	a_1b_0	a_0b_0	$A \times b_0$
+				a_3b_1	a_2b_1	a_1b_1	a_0b_1	$A \times b_1$
+				a_3b_2	a_2b_2	a_1b_2	a_0b_2	$A \times b_2$
+				a_3b_3	a_2b_3	a_1b_3	a_0b_3	$A \times b_3$
	p_7	p_6	p_5	p_4	p_3	p_2	p_1	p_0

Figura 6.22: Multiplicação de operandos de 4 bits.

Uma implementação direta da multiplicação é mostrada na Figura 6.23. Os blocos ‘ss’ são somadores simples, e os blocos ‘sc’ são somadores completos. A conjunção é indicada pela justaposição dos bits. Somadores simples são usados nas somas de dois bits, e completos nas somas de três. O caminho mais longo, e que portanto determina o tempo de propagação deste circuito, é o somador com seis bits de largura, que computa p_7 .

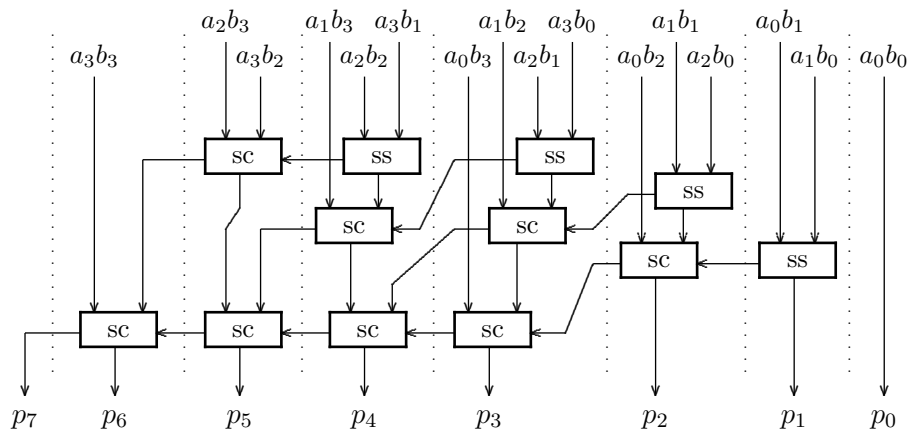


Figura 6.23: Implementação irregular da multiplicação em 4×4 bits.

Esta implementação ingênua da multiplicação é um circuito correto porém irregular – sua implementação num circuito integrado causaria desperdício de espaço porque o leiaute do

multiplicador não se presta facilmente a uma geometria regular e retangular. Uma consequência da falta de regularidade é que a extensão deste circuito para operandos de 8 bits é intuitiva, embora nada da versão de 4 bits possa ser reaproveitado. Vejamos como a reorganização da soma nos ajuda a projetar um circuito com leiaute regular.

6.8.3 Acumulação de Produtos Parciais – Versão 3

Vejamos uma segunda implementação de um circuito multiplicador com acumulação de produtos parciais. Este circuito combinacional é eficiente em termos de forma e área, e seu tempo de propagação é proporcional a $2n$ para operandos de n bits.

Sejamos um pouco mais ambiciosos e tentemos multiplicar de dois em dois bits, como mostrado abaixo para $3 \times 2 = 6$.

$$\begin{array}{r} 3 \\ \times 2 \\ \hline 6 \end{array} \quad \begin{array}{r} 1 \ 1 \\ \times 1 \ 0 \\ \hline 1 \ 1 \\ + 1 \ 1 \\ \hline 1 \ 1 \ 0 \end{array} \begin{array}{l} \times 0 \\ \times 1 \end{array}$$

Se chamamos o multiplicando de A e o multiplicador de B , e indicamos os bits mais e menos significativos pelos subscritos H e L respectivamente, podemos reescrever as quatro multiplicações separadamente:

$$\begin{array}{r} A_L \ 1 \\ B_L \ \times 0 \\ \hline 00 \end{array} \quad \begin{array}{r} A_H \ 1 \\ B_L \ \times 0 \\ \hline 00 \end{array} \quad \begin{array}{r} A_L \ 1 \\ B_H \ \times 1 \\ \hline 01 \end{array} \quad \begin{array}{r} A_H \ 1 \\ B_H \ \times 1 \\ \hline 01 \end{array}$$

Repetindo a soma das parcelas, agora usando os resultados dos pares de bits, obtemos o mesmo resultado, 6:

$$\begin{array}{r} 0 \ 0 \ A_L B_L \\ 0 \ 0 \ A_H B_L \\ 0 \ 1 \ A_L B_H \\ 0 \ 1 \ A_H B_H \\ \hline 0 \ 1 \ 1 \ 0 \end{array}$$

Agora o “pulo do gato”: se reordenarmos as parcelas desta soma, obtemos um bloco funcional que pode ser replicado na implementação de multiplicadores com operandos mais largos do que dois bits, e este bloco é mostrado na Figura 6.24.

Vejamos como se dá o próximo passo na construção do multiplicador. Tentemos multiplicar dois números de 4 bits, da mesma forma que fizemos com operandos de 2 bits. Efetuemos $8 \times 9 = 72$, agora usando $A_{\{L,H\}}$ e $B_{\{L,H\}}$ para representar *pares* de bits:

$$8_{10} = 1000_2, \quad A_H = 10, \quad A_L = 00$$

$$9_{10} = 1001_2, \quad B_H = 10, \quad B_L = 01$$

$$\begin{array}{r} A_L \ 00 \\ B_L \ \times 01 \\ \hline 0000 \end{array} \quad \begin{array}{r} A_H \ 10 \\ B_L \ \times 01 \\ \hline 0010 \end{array} \quad \begin{array}{r} A_L \ 00 \\ B_H \ \times 10 \\ \hline 0000 \end{array} \quad \begin{array}{r} A_H \ 10 \\ B_H \ \times 10 \\ \hline 0100 \end{array}$$

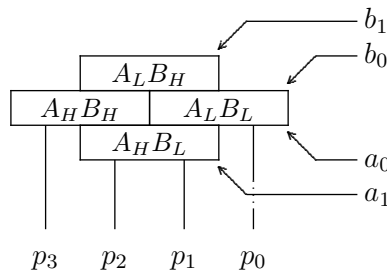


Figura 6.24: Bloco que multiplica dois operandos de 2 bits.

Cada um destes produtos pode ser quebrado em quatro produtos de pares de bits, cada novo quarteto reordenado como na Figura 6.24, e os quatro blocos agrupados como indicado na Figura 6.25. O conteúdo de cada bloco indica os dígitos dos operandos de A e de B .

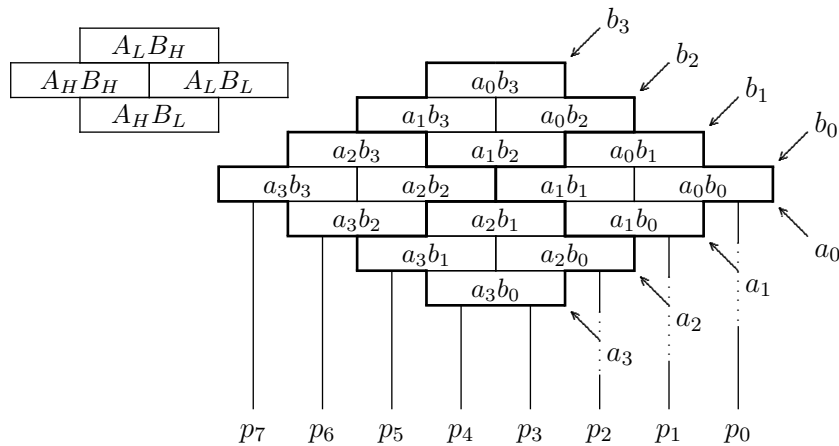


Figura 6.25: Implementação eficiente da multiplicação em 4×4 bits.

Os bits dos operandos atravessam o circuito na diagonal, enquanto os dígitos do produto são computados nas verticais.

Falta-nos projetar o bloco que efetua o produto de um par de bits e o soma com o produto parcial. Este bloco é mostrado na Figura 6.26. Os dois somadores devem efetuar a soma do produto $a_j \wedge b_i$ com o *vem-um* do bloco à direita (v_k), dois bits do produto parcial da parcela de cima ($s_{m,k+1}$) e ($s_{m,k}$), e produzem três bits do resultado parcial: ($s_{n,k+1}$) e ($s_{n,k}$) são encaminhados para a parcela de baixo, e v_{k+2} é o vai-um para o próximo bloco.

Com operandos com n bits, são necessários n^2 portas *and* para efetuar as multiplicações, mais $2n^2$ somadores, e portanto o custo C deste circuito é

$$C_{m3} \propto n^2.$$

Os somadores são distintos: ‘sc’ é um somador completo e ‘ss’ é um somador simples. Algumas otimizações são possíveis nas bordas do multiplicador: os blocos na borda direita não fazem uso da entrada v_k e o somador completo pode ser simplificado nestes blocos. O bit p_0 do produto não usa o somador completo. Note ainda que as maiores colunas (p_3 e p_4) têm somente sete parcelas.

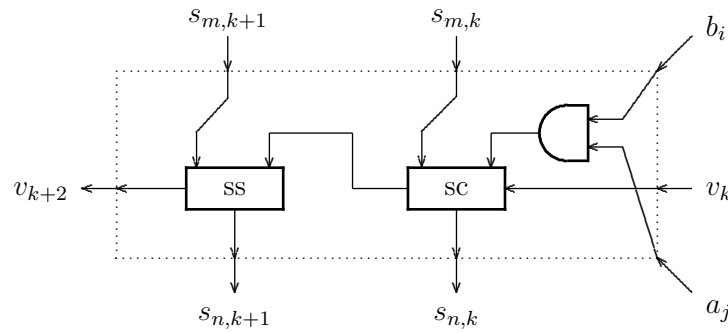


Figura 6.26: Bloco que multiplica e acumula os produtos parciais.

Quanto ao tempo de propagação, o maior somador tem largura $2n$. Para qualquer bit do produto, os sinais se propagam através de até n blocos na horizontal, seguidos de até n blocos na vertical, e portanto o tempo de propagação deste circuito é proporcional a $2n$:

$$T_{m3} \propto 2n.$$

6.9 Teste de Circuitos Aritméticos

É necessário um trabalho de detetive para localizar erros em circuitos que implementam as operações aritméticas. Usaremos somadores para exemplificar, mas as mesmas técnicas podem ser usadas para testar multiplicadores.

No que segue, usaremos a notação de VHDL para a base dos números: `b"0101"` indica que a sequência é representada em binário (prefixo `b`), `x"89AB"` indica que a sequência é representada em hexadecimal (prefixo `x`).

A Figura 6.27 mostra um somador de 4 bits. Quais padrões de bits, nas entradas A e B são necessários para evidenciar erros na implementação do circuito, ou no modelo que descreve o circuito?

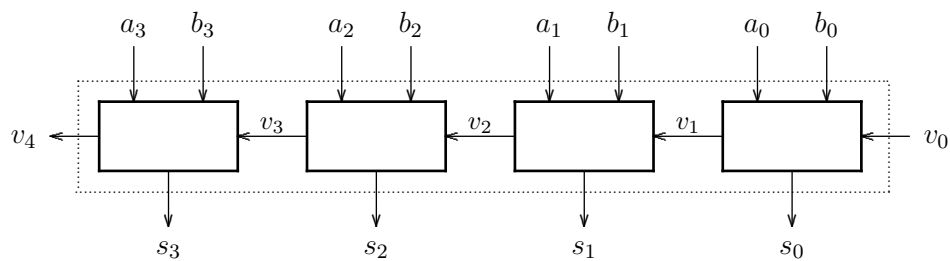


Figura 6.27: Circuito de testes do somador.

São necessários, ao menos, três tipos de testes: (i) testes para verificar se somas ‘simples’ produzem resultados corretos – quais os resultados esperados para a soma das parcelas `b"0001"+b"0000"` e `b"0010"+b"0000"`? (ii) testes para verificar a propagação do vai-um – quais os resultados esperados para a soma das parcelas `b"0001"+b"0001"` e `b"0010"+b"0010"`? (iii) testes para verificar se o modelo exibe as propriedades aritméticas da soma, no caso a comutatividade, operações com o elemento neutro, e operações que provocam *overflow* – reveja o Exemplo 6.4.

A operação do circuito nos extremos das faixas de valores deve ser examinada com cuidado: operações com valores pequenos e valores grandes devem produzir os resultados corretos.

Vejamos alguns padrões de teste para somadores de 16 bits. Como diria Orwell, alguns números são mais úteis do que outros. Que tal $x"1111"$ com $x"1111"$?

$$\begin{array}{r} 1111 \\ +1111 \\ \hline 2222 \end{array} \quad \begin{array}{r} 0001\ 0001\ 0001\ 0001 \\ +0001\ 0001\ 0001\ 0001 \\ \hline 0010\ 0010\ 0010\ 0010 \end{array}$$

Na coluna da esquerda os números estão representados em hexadecimal, e na da direita em binário. Além deste par, outros pares de operandos são úteis: $x"2222"$, $x"4444"$, $x"8888"$. Quais erros estes quatro padrões evidenciam?

O que se descobre somando $x"5555"$ com $x"5555"$?

$$\begin{array}{r} 5555 \\ +5555 \\ \hline AAAA \end{array} \quad \begin{array}{r} 0101\ 0101\ 0101\ 0101 \\ +0101\ 0101\ 0101\ 0101 \\ \hline 1010\ 1010\ 1010\ 1010 \end{array}$$

O que se descobre somando $x"AAAA"$ com $x"AAAA"$?

$$\begin{array}{r} AAAA \\ +AAAA \\ \hline 1\ 5554 \end{array} \quad \begin{array}{r} 1010\ 1010\ 1010\ 1010 \\ +1010\ 1010\ 1010\ 1010 \\ \hline 1\ 0101\ 0101\ 0101\ 0100 \end{array}$$

Quais erros estes dois padrões ($x"5555"$ e $x"AAAA"$) evidenciam, que não são possíveis descobrir com os padrões anteriores ($x"1111"$ a $x"8888"$)?

O que se descobre com $x"FFFF"+x"0001"$ e $x"0001"+x"FFFF"$?

Esses operandos nos ajudam a localizar a posição dos bits em que ocorrem os erros; uma vez localizados, examina-se o modelo para encontrar o erro, ou empregam-se novos testes até que o problema seja encontrado. O que se tenta com esta estratégia é “cercar o erro”.

Cada padrão usado nos testes *deve* ser o mais simples possível para evidenciar um determinado tipo de erro. Nos exemplos mostrados acima, somente porções bem delimitadas do somador são exercitadas em cada um dos testes.

A operação do circuito nos extremos das faixas de valores deve ser examinada com cuidado: operações com valores pequenos e valores grandes devem produzir os resultados corretos e, se for o caso, *overflow* deve ser sinalizado, conforme reza a Seção 6.5.2.

Uma vez que acreditemos que o circuito, ou seu modelo, esteja correto, os testes devem ser repetidos para garantir que *todos* os erros foram sanados – sempre existe o risco de que nossas correções possam ter introduzido novos erros.

Para testar exaustivamente um somador de 16 bits são necessários $2^{16} \times 2^{16} \times 2 > 8,5$ bilhões de padrões distintos. Se o somador tem operandos de 32 bits, ou de 64-bits, testes exaustivos são obviamente inviáveis. Um fator importantíssimo na geração de casos de teste é gerar tuplas que elucidem *todos* os possíveis erros, sem que o tempo necessário para conduzir² os testes seja impraticável.

²Reza a lenda que o time de projeto do processador Pentium IV da Intel consistia de 250 pessoas enquanto o time de verificação consistia de 750 pessoas.

Exercícios

Ex. 6.24 Escreva um conjunto de tuplas $\langle A, B, vem, S, vai \rangle$ para capturar erros na implementação de somadores para operandos de 16 bits. Sua lista deve ser a mais curta possível – tempo é dinheiro – ao mesmo tempo em que a cobertura – variedade de erros descobertos – seja máxima.

Ex. 6.25 Escreva um conjunto de tuplas $\langle A, B, R \rangle$ para capturar erros na implementação de multiplicadores para operandos de 16 bits. Sua lista deve ser a mais curta possível ao mesmo tempo em que sua cobertura seja máxima.

Ex. 6.26 Escreva um conjunto de tuplas $\langle A, B, F, R, T \rangle$ para para capturar erros na implementação da ULA de 4 bits da Seção 6.5. Sua lista deve ser a mais curta possível ao mesmo tempo em que sua cobertura seja máxima.

Ex. 6.27 Complete o circuito da Figura 6.25, acrescentando todas as ligações que faltam na periferia. *Pista:* veja o bloco da Figura 6.26.

Ex. 6.28 Efetua as otimizações possíveis no circuito da sua resposta ao Ex. 6.27.

Índice Remissivo

Símbolos

T_A , 64
 T_D , 120
 T_I , 109, 116
 T_M , 117, 119
 T_P , 116
 T_p , 171
 $T_{C,x}$, 118–120
%, 18–20
 \Rightarrow , 37
 \bigvee , 47
 \bigwedge , 47
 \equiv , 36
 \gg , 155
 \wedge , 30, 36
 $\triangleleft \triangleright$, 36, 42, 66
 \Leftrightarrow , 36
 \Rightarrow , 36, 37, 41, 44
 \ll , 155
 \neg , 30, 36, 154
 \vee , 30, 36
 \oplus , 36, 53, 65
 \mapsto , 42
 \mathbb{N} , 146
 \bar{a} , veja \neg
 π , 25
 \setminus , 77
decod, 72
demux, 75
e, 24
mod, 158
mux, 67
 \mathbb{B} , 29–33, 38, 42
 \mathbb{Z} , 42, 149
 \mathbb{N} , 42, 43, 149
num, 44, 55, 72, 77
num⁻¹, 55
 \mathbb{R} , 42
 $\langle \rangle$, 29, 42, 43, 180

Números

74148, 75

A

abstração, 27
 bits como sinais, 27–33, 57
 tempo discretizado, 116, 118
acumulação de produtos parciais, 173–178
adição, 152
adiantamento de vai-um, 164–172

alfabeto, 17
Álgebra de Boole, 27
algoritmo,
 conversão de base, 18
 conversão de base de frações, 22
amplificador, 125, 136
 diferencial, 138
and, veja \wedge
and array, 128
aproximação, 24
árvore, 64, 118
assembly, veja ling. de montagem
associatividade, 31
atraso, veja tempo de propagação, 57
atribuição, 12

B

barramento, 140
barrel shifter, 158
básculo, 138
binário, 20
bit, 20
 de sinal, 147
bits, 27–37, 65
 definição, 29
 expressões e fórmulas, 30
 expressão, 30
 propriedades da abstração, 31
 variável, 30
branch, veja desvio condicional
buffer, 123
buffer three-state, 140
buraco, 87
byte, 11

C

C,
 deslocamento, 160
 overflow, 163
cadeia,
 de portas, 64, 118
 de somadores, 152
caminho crítico, 117
capacitor, 105, 107, 135, 136
capture FF, veja *flip flop*, destino
CAS, 134
célula de RAM, 81
célula, 100
chave,
 analógica, 142

digital, 92
 normalmente aberta, 92
 normalmente fechada, 78, 92

ciclo,
 combinacional, 57
 violação, 81

circuito,
 combinacional, 57, 65
 dual, 99

circuito aberto, 57

clk, *veja* relógio

clock, *veja* relógio

clock skew, *veja* skew

CMOS, 59, 65, 85–142
buffer three-state, 140
 célula, 100
 inversor, 96
 nand, 99
 nor, 98
 porta de transmissão, 141
 portas inversoras, 99
 sinal restaurado, 125

código,
 Gray, 63

Column Address Strobe, *veja* CAS

combinacional,
 ciclo, 57
 circuito, 57
 dispositivo, 57

comparador,
 de igualdade, 62, 164
 de magnitude, 164

Complementary Metal-Oxide Semiconductor, *veja* CMOS

complemento, *veja* \neg

complemento de dois, 145–151, 154–164

complemento, propriedade, 31

comportamento transitório, *veja* transitório

comutatividade, 31

condicional, *veja* $\triangleleft \triangleright$

condutor, 85

conjunção, *veja* \wedge

conjunto mínimo de operadores, 65

contra-positiva, 41

controlador,
 de memória, 136

conversão de base, 18

corrente, 85, 105, 106, 112, 113
 de fuga, 115

corrida, 123, 125

curto-circuito, 57

D

datapath, *veja* circuito de dados

decimal, 17

decodificador, 72, 78, 81–82, 84, 126
 de linha, 126, 135
 de prioridades, 74

delay, 57

demultiplexador, 75, 120

design unit, *veja* VHDL, unidade de projeto

deslocador exponencial, 156

deslocamento, 155–158
 aritmético, 155, 158, 164
 exponencial, 159
 lógico, 155, 162
 rotação, 158

detecção de bordas, 123

disjunção, *veja* \vee

dispositivo, 85
 combinacional, 57

distributividade, 31, 34, 51

divisão inteira, 44

doador, 87

don't care, 70

dopagem por difusão, 86

dopante, 86

DRAM, 134–137
 controlador, 136
 fase de restauração, 137
 linha,
 de palavra, 135
 linha de bit, 135
 linha de palavra, 136
 página, 135
refresh, 135

dual, 32, 95, 99

dualidade, 32

E

EEPROM, 133

endereço, 77

energia, 100, 105, 112–115

enviesado, relógio, *veja* skew

EPROM, 133

equivalência, *veja* \Leftrightarrow

erro,
 de representação, 23

especificação, 42

expressões, 36

F

fan-in, 109–112, 116, 167, 170

fan-out, 82, 84, 109–112, 116, 120, 170–172

fechamento, 31

FET, 91

Field Effect Transistor, *veja* FET

Field Programmable Gate Array, *veja* FPGA

flip-flop,
 modelo VHDL, *veja* VHDL, *flip-flop*
 um por estado, *veja* um FF por estado

forma canônica, 48

frações, *veja* ponto fixo

frequência máxima, *veja* relógio

função, 30
 tipo, 29, 42

função, aplicação bit a bit, 32

função, tipo (op. infix), *veja* \mapsto

G

glitch, veja transitório
 GND, 93
 gramática, 17

H

hexadecimal, 19

I

idempotência, 31
 identidade, 31
 igualdade, 30
 implementação, 42
 implicação, veja \Rightarrow
 informação, 16
 Instrução,
 busca, veja busca
 instrução, 12
 busca, veja busca
 decodificação, veja decodificação
 execução, veja execução
 resultado, veja resultado
 interface,
 de rede, 13
 de vídeo, 12
 inversor, 96
 tempo de propagação, 109
 involução, 31, 61
 isolante, 85

J

Joule, 112
jump, veja salto incondicional

L

latch, veja basculado
latch FF, veja *flip flop*, destino
launch FF, veja *flip flop*, fonte
 Lei de Joule, 112
 Lei de Kirchoff, 106
 Lei de Ohm, 105, 106
 ligação,
 barramento, 140
 em paralelo, 93, 99
 em série, 93, 99
 linguagem,
 assembly, veja ling. de montagem
 C, veja C
 Pascal, veja Pascal
 VHDL, veja VHDL
 Z, 27
 linha de endereçamento, 78
 literal, 38
 logaritmo, 43
 lógica restauradora, 125

M

Mapa de Karnaugh, 49, 124
 Máquina de Mealy, veja máq. de estados
 Máquina de Moore, veja máq. de estados

máscara, 32
 máximo e mínimo, 31
 maxtermo, 46
 Mealy, veja máq. de estados
 memória,
 atualização, 77
 de vídeo, 13
 decodificador de linha, 80
 endereço, 77
 FLASH, 133
 matriz, 129, 132, 134
 multiplexador de coluna, 80
 primária, 13
 RAM, 81, 134
 ROM, 78, 126
 secundária, 13
 memória dinâmica, veja DRAM
 memória estática, veja SRAM
 mintermo, 45, 124, 126
 modelo,
 funcional, 44
 porta lógica, 96
 temporização, 115
 módulo, veja %, mod
 Moore, veja máq. de estados
 MOSFET, 91
 multiplexador, 61, 66–70, 80, 101, 117, 119, 123–
 124, 126, 141, 142
 de coluna, 132, 136
 multiplicação, 172–178
 acumulação de produtos parciais, 173–178
multiply-add, veja MADD

N

número,
 de Euler, 24
 negação, veja \neg
 nível lógico,
 0 e 1, 28
 indeterminado, 28, 109, 116, 141
 terceiro estado, 140
 nó, 96
non sequitur, 37
 not, veja \neg
 número primo, 53

O

octal, 18
 operação,
 binária, 29
 bit a bit, 32
 infixada, 42
 prefixada, 47
 unária, 29
 operações sobre bits, 29–33
 operador,
 binário, 29
 lógico, 36
 unário, 29

operation code, veja *opcode*
 or, veja \vee
 or array, 129
 ou exclusivo, veja \oplus
 ou inclusivo, veja \vee
 overflow, 148–150, 154, 162–164, 173, 178

P

paridade,
 ímpar, 49
 par, 49
 período mínimo, veja relógio
pipelining, veja segmentação
 piso, veja [v]
 ponto fixo, 151–152
 ponto flutuante, 70
 porta lógica, 65
 and, 59
 carga, veja *fan-out*
 de transmissão, 141
 nand, 60, 99
 nor, 60, 98
 not, 59, 96
 or, 59
 xor, 60, 65
 portas complexas, 100
 potência, 112–115
 dinâmica, 114
 estática, 115
 potenciação, 43
 precedência, 30
 precisão,
 representação, 23
 prioridade,
 decodificador, 74
 processador, 12
 produtivo, 33
 produto de somas, 46
 programa de testes, veja VHDL, *testbench*
 PROM, 133
 propriedades, operações em \mathbb{B} , 31
 prova de equivalência, 40–41
pull-down, 96
pull-up, 96, 126, 141
 pulso, 122, 123
 espúrio, veja transitório

R

RAM, 12, 77, 81, 134–139
 célula, 81
 dinâmica, 135
Random Access Memory, veja RAM
 RAS, 134
Read Only Memory, veja ROM
 realimentação, 81
 receptor, 87
 rede, 96
 redução, 33
refresh, 137, 139

Register Transfer Language, veja RTL
 registrador de deslocamento,
 modelo VHDL, veja VHDL, registrador
 relógio,
 enviesado, veja *skew*
 representação,
 abstrata, 28
 binária, 20
 complemento de dois, 147
 concreta, 27
 decimal, 17
 hexadecimal, 19
 octal, 18
 ponto fixo, 151
 posicional, 17
 precisão, 23
 resistência, 87, 100, 105
 ROM, 12, 77–80, 126–133
 rotação, 158, 164
Row Address Strobe, veja RAS

S

seletor, 72
 semântica, 17
 semicondutor, 85
 tipo N, 87
 tipo P, 87
 silogismo, 37
 simplificação de expressões, 38–40
 sinal, 27, 42
 analógico, 27
 digital, 27, 28
 fraco, 125, 126, 138, 141
 intensidade, 90, 139
 restaurado, 125, 139
 síntese, veja VHDL, síntese
Solid State Disk, veja SSD
 soma, veja somador
 soma de produtos, 45, 51, 126
 completa, 45
 somador, 145, 152–153
 adiantamento de vai-um, 165
 cadeia, 152
 completo, 104, 152
 overflow, 163
 parcial, 103
 seleção de vai-um, 170–172
 teste, 178
 somatório, 33
 spice, 28
 SRAM, 138–139
 SSD, 14
status, 162
 subtração, 154
 superfície equipotencial, 96, 110

T

tabela verdade, 33–35, 45
 tamanho, veja $|N|$

- tempo,
 de contaminação, 115, 118–121
 de propagação, 57–58, 61, 64–65, 73, 77, 84, 102,
 104, 109, 115–117
temporização, 104–126
tensão, 105
Teorema,
 Absorção, 49
 DeMorgan, 32, 41, 48, 54, 60, 61, 94, 98
 Dualidade, 99
 Simplificação, 49
terceiro estado, 140–141
testbench, veja VHDL, *testbench*
teste,
 cobertura, 179
 de corretude, 178
teto, veja [r]
three-state, veja terceiro estado
tipo,
 de sinal, 42
 função, 29
Tipo I, veja formato
Tipo J, veja formato
Tipo R, veja formato
transferência entre registradores, veja RTL
transistor, 87–91, 95–96
 CMOS, 95
 corte, 113
 gate, 88
 saturação, 113
 sinal fraco, 90
 tipo N, 88
 tipo P, 89
Transistor-Transistor Logic, veja TTL
transitório, 121–123
transmission gate, veja porta de transmissão
TTL,
 74148, 75
tupla, veja ⟨ ⟩
 elemento, 32
 largura, 43
- U**
- ULA, 160–164, 180
 status, 162
Unidade de Lógica e Aritmética, veja ULA
- V**
- valor da função, 30
VCC, 93
vetor de bits, veja ⟨ ⟩, 32
 largura, 43
VHDL,
 design unit, veja VHDL, unidade de projeto
 std_logic, 140
 tipos, 42
- W**
- Watt, 112
write back, veja resultado
- X**
xor, veja \oplus
- Z**
Z, linguagem, 27